

XeF<sub>4</sub>

1962

**9 Д41.** Обычное описание соединений ксенона методом электронных пар. Allen Leland C., Норгрокс William D e W., Jr. Conventional electron pair description of xenon compounds. «J. Amer. Chem. Soc.», 1962, 84, № 22, 4344—4345 (англ.)

Делается попытка качеств. предсказания электронной структуры связей в соединениях ксенона.  $\text{XeF}_4$  описывается с помощью 6 электронных пар, составленных из 8 электронов Xe и 6 электронов по одному — от каждого атома F. Эти электронные пары направлены к вершинам правильного октаэдра. Атомы F локализованы в вершинах квадрата с атомом Xe в центре. Две неподеленные пары направлены перпендикулярно плоскости молекулы. Такая структура приводит к длине связи Xe—F, равной 1,97 Å. Предсказанная плоская структура молекулы  $\text{XeF}_4$  подтверждается тем, что изоэлектронный молекулярный ион  $\text{JCl}_4^-$  имеет плоское строение. Спектр комб. рас. также указывает на плоскую геометрию  $\text{XeF}_4$ .

Ф. 1963-9

Предсказывается также существование молекул  $XeF_4O$  и  $XeF_4O_2$  в форме тетраг. пирамиды и бипирамиды соответственно. В случае  $XeF_2$  в молекулярной связи участвует 10 электронов, образующих 5 электронных пар ( $XeF_2$  — линейная симметричная молекула). Три неподеленных пары расположены в одной плоскости. Связи  $Xe-F$  направлены перпендикулярно к плоскости неподеленных пар. Предсказывается также существование соединений  $XeF_2$  с кислородом.

Е. Пшеничнов

I-4093

1962

RaF ( $T_m$ ), XeF<sub>4</sub> (?)

Chernick C.L., Claassen H.H., Fields P.R.,  
Hyman H.H., Malm J.C., Manning W.M.,  
Matheson M.S., Quarterman L.A.,  
Schreiner F., Selig H.H., Sheft J.,  
S. Siegel, Sloth E.N., Stein L.,  
Studier M.H., Weeks J.L., Zirin M.H.,  
Science, 1962, 138, p 3537, 136-138

Fluorine compounds of xenon and  
radon

1540

See p. 1

XeF<sub>4</sub>

Cropl. Chem. Acta

Fluorine magnetic resonance in xenon tetrafluoride. S. Maricic and Z. Veksli (Inst. Ruder Boskovic, Zagreb, Yugoslavia). *Croat. Chem. Acta* 34, 189-90(1962)(in English). Below 237°K. the spectra became asymmetric, with a shape characteristic of substances with paramagnetic properties. Above this temp. the line shapes are symmetric, with a 2nd moment between 3.5 (at 237°K.) and 2.7 gauss<sup>2</sup> (at 293°K.). The latter values are discussed in relation to the mol. structure of XeF<sub>4</sub>.

S. Maricic (C.C.A.)

C.A. 1963. 58-6

5745c

1963

5335

AN ELECTRON-DIFFRACTION STUDY OF THE  
STRUCTURE OF GASEOUS XENON TETRAFLUORIDE.

R. K. Bohn, K. Katada, J. V. Martinez, and S. H. Bauer  
(Cornell Univ., Ithaca, N. Y.). p.238-42 of "Noble-Gas  
Compounds." Chicago, Univ. of Chicago Press, 1963.

The structure of gaseous XeF<sub>4</sub> was determined by electron diffraction. The radial-distribution curve shows a principal peak at 1.94 Å corresponding to the Xe-F distance. The peak yields a root-mean-square amplitude of vibration of approximately 0.05 Å. In addition, the radial-distribution curve shows two other maxima at 2.77 and 3.88 Å. The peak at 3.88 Å is approximately  $\frac{1}{3}$  that of the one at 2.77 Å. Approximating the peak at 2.77 Å with a gaussian curve yields a root-mean-square amplitude of vibration of 0.10 Å. The results show that gaseous xenon tetrafluoride is square planar to within experimental error. (P.C.H.)

X1/15A77

NSA 1964. 18.4

1963

XeF<sub>4</sub> Bersohn R.

Xem. chay J. Chem. Phys., 1963, 38, 2913 (№ 12)

Спектральные зависимости  
от температуры

(аг "XeF<sub>2</sub>)

XeF<sub>4</sub>

$\delta_{Xe-F}$ ) XI 2091

1963

Blinic R., Zupancic I., Maricic S.,  
VOKS Lič.

J. Chem. Phys., 1963, 39, 48, 2109-2110/ang

Anisotropy of the fluorine chemical  
shift tensor in xenon tetrafluoride.

Proc Xan., 1964, 105/7A 10

1963

23 Б161. Тетрафторид ксенона. Спектр магнитного резонанса  $F^{19}$  с высоким разрешением. Brown Thomas H., Whipple E. B., Verdier Peter H. Xenon tetrafluoride: fluorine-19 high-resolution magnetic resonance spectrum. «Science», 1963, 140, № 3563, 178 (англ.)

ядерный  
магнитный  
резонанс  
структуре

Исследован спектр ЯМР  $F^{19}$  в  $XeF_4$ , растворенном в безв. НФ. Наблюдалась сильная центральная линия,мещенная на  $(157,0 \pm 1,5) \cdot 10^{-6}$  в сторону низких полей по сравнению с р-рителем, и две более слабые линии по обе стороны от главной с расщеплением  $3860 \pm 20$  гц. Дополнительные линии отнесены к взаимодействию  $F^{19}$  с ядром  $Xe^{129}$ . Относительные интенсивности позволяют оценить долю  $Xe^{129}$  в 26%. Взаимодействие с  $Xe^{131}$  (спин  $3/2$ ) не проявляется в спектре из-за большого квадрупольного момента и усреднения состояний ядерного спина за счет квадрупольной релаксации. Это указывает на более низкую симметрию, чем тетраэдрическая, так что  $XeF_4$  сохраняет в р-ре плоское строение. Наблюдался также спектр ЯМР  $Xe^{129}$  с хим. сдвигом  $-5800 \cdot 10^{-6}$  по сравнению с атомарным. Хим. сдвиг F сходен с наблюдаемым в  $BrF_3$ ,  $JF_5$  и  $TeF_6$  и т. д.

М. Дяткина

Х. 1963. 23

1963

 $XeF_4$ 

neutronography

 $\sigma = 1.953$  $XeF$  $\angle F X e F = 90^\circ$ 

16023 XENON TETRAFLUORIDE MOLECULE AND  
ITS THERMAL MOTION: A NEUTRON DIFFRACTION  
STUDY. John H. Burns, P. A. Agron, and Henri A. Levy  
(Oak Ridge National Lab., Tenn.). Science, 139: 1208-9  
(Mar. 22, 1963).

A neutron-diffraction analysis of the xenon tetrafluoride crystal structure confirmed the square-planar symmetry of the molecule. From the data, the average Xe to F bond length is 1.953 Å ( $\sigma = 0.002$ ) and the F to Xe to F angle is 90.0° ( $\sigma = 0.1$ ). A description of the thermal displacements in the crystal is given. (auth)

NSA-1963-14-10

1963

*Received*  
*deppaques*  
*keen point*  
*XeF<sub>4</sub>*

The crystal and molecular structure of xenon tetrafluoride by neutron diffraction. John H. Burns, Paul A. Agron, and Henri A. Levy (Oak Ridge Natl. Lab., Oak Ridge, Tenn.). Noble-Gas Compds. 1963, 211-20(Eng). The crystal structure, mol. geometry, and thermal motion of  $\text{XeF}_4$  were detd. by 3-dimensional neutron-diffraction analysis. The symmetry of the  $\text{XeF}_4$  mol. was found to be  $D_{4h}$  to high precision. The space group is  $P2_1/n$ . The av. Xe-F bond length, cor. for thermal motion, is 1.95 Å. ( $\sigma = 0.01$ ) and the F(1)-Xe-F(2) angle is  $90.0^\circ$  ( $\sigma = 0.1$ ). Thermal motion in the crystal is described as a translation of the rigid mol. plus a libration of  $\sim 5^\circ$  about the 3 mol. axes. Each F atom makes 8 intermol. contacts with other F atoms and one close approach to another Xe atom. The sq.-planar symmetry, predicted for the free mol. by the mol.-orbital calcns. of Lohr and Lipscomb (*CA* 58, 9696b) was found to exist to high precision in solid  $\text{XeF}_4$ .

Ernest R. Kurginski

C.A. 1966 65 8  
11455 cd

1963

XII 995

 $\text{XeF}_4$  $\text{XeOF}_4$ (Pi, Capp.)  
TM)

Vibrational spectra and structures of xenon tetrafluoride and xenon oxytetrafluoride: H. H. Claassen, Cedric L. Chernick, and John G. Malm (Argonne Natl. Lab., Lemont, Ill.). *Noble-Gas Compds.* 1963, 287-94(Eng). The ir spectrum of  $\text{XeF}_4(g)$  has strong bands at 123, 291, and  $586 \text{ cm}^{-1}$ . The Raman spectrum of the solid has very intense peaks at 502 and 543 and a weaker one at  $235 \text{ cm}^{-1}$ . These data show that the mol. is planar and of symmetry  $D_{4h}$ . The 7 fundamental frequencies have been assigned as 543 ( $a_{1g}$ ), 291 ( $a_{2u}$ ), 235 ( $b_{1g}$ ), 221 ( $b_{1u}$ ), 502 ( $b_{2g}$ ), 586 ( $e_u$ ), and 123 ( $e_u$ ), the assignment of  $221 \text{ cm}^{-1}$  to  $b_{1u}$  being uncertain. The ir spectrum of  $\text{XeOF}_4(g)$  has intense peaks at 288, 362, 578, 690, and  $928.2 \text{ cm}^{-1}$  and the Raman spectrum of the liquid has bands at 231, 286, 364, 530, 566, and

C.A. 1966.65.5  
6515gh

$918 \text{ cm.}^{-1}$  The spectra fit a  $C_{4v}$  model very well. The fundamentals detd. are  $928.2$  ( $a_1$ ),  $578$  ( $a_1$ ),  $288$  ( $a_1$ ),  $231$  ( $b_1$ ),  $530$  ( $b_2$ ),  $609$  ( $e$ ), and  $362$  ( $e$ ). This leaves  $1$  ( $b_2$ ) and  $1$  ( $e$ ) fundamental undetd. Very close correspondence between vibrations in the 2 mols. indicates that the O-Xe-F angle in  $\text{XeOF}_4$  must be rather close to  $90^\circ$ . Force consts. for stretching, interaction of bonds at right angles, and opposite are  $3.00$ ,  $0.12$ , and  $\sim 0.06$ , mdyne/A.

A. L. McClellan

XeF<sub>4</sub>

XI 994  
Claassen H. H.

1963

Cheung

"Noble-Gas Compounds", p. 304-5,  
Chicago, Univ. of Chicago Press,  
1963.

Résumé on vibrational spectra  
of xenon compounds.

(en  $\text{Li}$ , XeF<sub>2</sub>)

NSR. 1964. 18. 4

1963

XeOF<sub>4</sub>

33865 (CONF-126-9) VIBRATIONAL SPECTRA AND  
STRUCTURES OF XeF<sub>4</sub> AND XeOF<sub>4</sub>. Howard H. Claassen,  
Cedric L. Chernick, and John G. Malm (Argonne National  
Lab., Ill.). [1963]. Contract W-31-109-eng-38. 22p.

From Conference on Noble Gas Compounds, Argonne,  
Ill., Apr. 1963.

The infrared spectrum of XeF<sub>4</sub> vapor has strong bands at 123, 291, and 586 cm<sup>-1</sup>. The Raman spectrum of the solid has very intense peaks at 502 and 543 cm<sup>-1</sup> and a weaker one at 235 cm<sup>-1</sup>. These data show that the molecule is planar and of symmetry D<sub>4h</sub>. The seven fundamental frequencies were assigned as 543 (a<sub>1g</sub>), 291 (a<sub>2u</sub>), 235 (b<sub>1g</sub>), 221 (b<sub>1u</sub>), 502 (b<sub>2g</sub>), 586 (e<sub>u</sub>), and 123 (e<sub>u</sub>), the assignment of 221 cm<sup>-1</sup> to b<sub>1u</sub> being uncertain. The infrared spectrum of XeOF<sub>4</sub> vapor has intense peaks at 288, 362, 578, 609, and 928.2 cm<sup>-1</sup> and the Raman spectrum of the liquid has bands

NSA • 1963 • 7 • 20

at 231, 286, 364, 530, 566, and 918 cm<sup>-1</sup>. The spectra fit a C<sub>4v</sub> model very well. The fundamentals determined are: 928.2 (a<sub>1</sub>), 578 (a<sub>1</sub>), 288 (a<sub>1</sub>), 231 (b<sub>1</sub>), 530 (b<sub>2</sub>), 609 (e), and 362 (e). This leaves one (b<sub>2</sub>) and one (e) fundamental undetermined. Very close correspondence between vibrations in the two molecules indicates that the O-Xe-F angle in XeOF<sub>4</sub> must be rather close to 90°. (auth)

XeF<sub>4</sub>

Chemup

X7 2112

1963

Vibrational spectra and structure of xenon tetrafluoride.  
Howard H. Claassen, Cedric L. Chernick, and John G. Malm  
(Argonne Natl. Lab., Argonne, Ill.). *J. Am. Chem. Soc.* 85(13),  
1927-8(1963). The infrared spectrum of XeF<sub>4</sub> vapor has strong  
bands at 123, 291, and 586 cm.<sup>-1</sup> The Raman spectrum of the  
solid has very intense peaks at 502 and 543 cm.<sup>-1</sup> and weaker ones  
at 235 and 442 cm.<sup>-1</sup> These data show that the mol. is planar  
and of symmetry D<sub>4h</sub>. The 7 fundamental frequencies were as-  
signed as 543 (a<sub>1g</sub>), 291(a<sub>2u</sub>), 235 (b<sub>1g</sub>), 221 (b<sub>1u</sub>), 502 (b<sub>2g</sub>), 586 (e<sub>u</sub>),  
and 123 (e<sub>u</sub>). The (b<sub>1u</sub>) frequency value is uncertain. RCJC

C.A. 1963.59.3

2306 d

1963

XeF<sub>4</sub>

1 Д176. Колебательные спектры и структура тетрафторида ксенона. Claassen Howard H., Cherpick Cedric L., Malm John G. Vibrational spectra and structure of xenon tetrafluoride. «J. Amer. Chem. Soc.», 1963, 85, № 13, 1927—1928 (англ.)

Найдено, что ИК-спектр газообразного XeF<sub>4</sub> имеет сильные полосы: 123, 291 и 586 см<sup>-1</sup>. Спектр комб. рас. твердого XeF<sub>4</sub> имеет интенсивные максимумы 502 и 543 см<sup>-1</sup> и более слабые при 235 и 442 см<sup>-1</sup>. Это позволяет сделать вывод, что молекула — плоская, симметрии D<sub>4h</sub>. Проведено отнесение 7 частот: 543 (a<sub>1g</sub>), 291 (a<sub>2u</sub>), 235 (b<sub>1g</sub>), 221 (b<sub>1u</sub>), 502 (b<sub>2g</sub>), 586 (e<sub>u</sub>), 123 (e<sub>u</sub>). Частота (b<sub>1u</sub>) осталась неопределенной.

Р. Костиков

1964. 17

1963

XeF<sub>4</sub>  
h.K.  
Синхр

З Б114. Колебательный спектр и структура четырехфтористого ксенона. Claassen Howard H., Chergnick Cedric L., Malm John G. Vibrational spectra and structure of xenon tetrafluoride. «J. Amer. Chem. Soc.», 1963, 85, № 13, 1927—1928 (англ.)

Исследован ИК-спектр поглощения паров XeF<sub>4</sub> (I) и спектр комб. расс. I в твердом состоянии. На основании полученных данных и исходя из предположения, что молекула I имеет симметрию D<sub>4h</sub>, сделано отнесение основных частот (в см<sup>-1</sup>): 543 (a<sub>1g</sub>), 291 (a<sub>2u</sub>), 235 (b<sub>1g</sub>), 221 (b<sub>1u</sub>), 502 (b<sub>2g</sub>), 586 (e<sub>u</sub>) и 123 (e<sub>u</sub>). Отнесение частоты 221 см<sup>-1</sup> является сомнительным.

Резюме авторов

X·1964·3

1963

*XeF<sub>4</sub>**to & coll'd w  
copyrgr -*

28846] VIBRATIONAL SPECTRA AND STRUCTURE  
OF XENON TETRAFLUORIDE. Howard H. Claassen,  
Cedric L. Chernick, and John G. Malm (Argonne National  
Lab., Ill). J. Am. Chem. Soc., 85: 1927-8 (July 5, 1963).

The infrared spectrum of  $\text{XeF}_4$  vapor has strong bands at 123, 291, and  $586 \text{ cm}^{-1}$ . The Raman spectrum of the solid has very intense peaks at 502 and  $543 \text{ cm}^{-1}$  and weaker ones at 235 and  $442 \text{ cm}^{-1}$ . These data show that the molecule is planar and of symmetry  $D_{4h}$ . The seven fundamental frequencies were assigned as  $543$  ( $a_{1g}$ ),  $291$  ( $a_{2u}$ ),  $235$  ( $b_{1g}$ ),  $221$  ( $b_{1u}$ ),  $502$  ( $b_{2g}$ ),  $586$  ( $e_u$ ), and  $123$  ( $e_u$ ). The ( $b_{1u}$ ) frequency value is quite uncertain. (auth)

NSA-1963-17-14

структура (XeF<sub>4</sub>) XI 1783 1968

Hemmerich P.

Chimia, 1963, 17, N9,

289-92

(92)

10

Есть ф. н.

XeF<sub>4</sub> Eugene S. Rysk 1963

Joshua Tortner

Stuart A. Rice

From American Chemical Society  
145-th National Meeting, New York

Sept, 1963

Forbidden electronic transitions

in XeF<sub>2</sub> & XeF<sub>4</sub>

(Cu<sup>II</sup>XeF<sub>2</sub>)

1963

12 Б38. Проблема химической связи в тетрафториде ксенона. Israéli Yigal Julius. Le problème des liaisons chimiques dans le tétrafluorure de xénon. «Bull. Soc. chim. France», 1963, № 6, 1336 (франц.)

Автор предполагает, что при образовании  $\text{XeF}_4$  две пары электронов Xe (напр.,  $5p_x^2$  и  $5p_y^2$ ) переходят к  $4F$ . Катион  $\text{Xe}^{4+}$  оказывается при этом в кристаллическом поле четырех анионов  $\text{F}^-$  с симметрией  $D_{4h}$ , которое частично снимает вырождение  $4p$ -AO Xe. Возникают следующие орбиты:  $E_u$  (из  $5p_x$  и  $5p_y$ ), несвязывающие  $A_{2u}$  (из  $5p_z$ ),  $A_{1g}$  (из  $5s$ ),  $B_{1g}$  (из  $4d_{x^2-y^2}$ ), несвязывающие  $A_{1g}$  (из  $4d_z^2$ ) и  $T_{2g}$  (из остальных  $4d$ -орбит). Из

орбит Xe типов  $A_{1g}$ ,  $B_{1g}$  и  $E_u$  и соответствующих линейных комбинаций  $2p$ -АО F конструируются MO всей молекулы. Схема возникающих уровней приведена на рис. При заполнении связывающих MO  $A_{1g}$ ,  $E_u$  и  $B_{1g}$  восемью электронами, несвязывающих орбит  $T_{2g}$ ,  $A_{1g}$  ( $4d_z^2$ ) и  $A_{2u}$  — десятью электронами и разрыхляющих MO  $B_{1g}^+$  и  $A_{1g}^+$  — четырьмя электронами, появляются две пары электронов на MO, ориентированных по оси z, которые могут участвовать в координации с молекулой.

ХеF<sub>4</sub>

2.1964.12

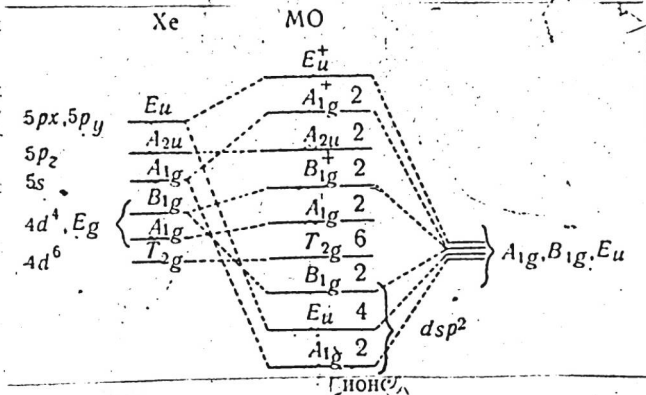
Сис. метод.

1861

17

ми с пустыми орбитами. На этом основании автор предсказывает существование  $\text{XeF}_4\text{O}_2$ ,  $\text{XeF}_4 \cdot \text{BF}_3$  и  $\text{XeF}_4 \cdot (\text{BF}_3)_2$ .

М. Дяткина



1963

XeF<sub>4</sub>

Wsp. Cullip

A far ultraviolet spectroscopic study of xenon tetrafluoride. Joshua Jortner, E. Guy Wilson, and Stuart A. Rice (Univ. of Chicago). *J. Am. Chem. Soc.* 85, 815-16(1963). The ultraviolet absorption spectrum of XeF<sub>4</sub> in the gas phase was studied down to 1100 Å. The spectrum consists of a weak band at 2265 Å. ( $f = 0.008$ ) and 2 strong bands at 1840 and 1325 Å. ( $f = 0.22$  and 0.80, resp.). No vibrational structure is noticed. The 2265-Å. band is assigned to a forbidden  $a_{2u} \rightarrow c_u^+$  transition, vibronically induced by coupling with the  $E_u$ -type vibration of the planar sq. mol. The 1840- and 1325-Å. bands are assigned to allowed  $x,y$  polarized  $b_{1g} \rightarrow c_u^+$  and  $a_{1g} \rightarrow c_u^+$  transitions, resp. The spectral data are consistent with the banding scheme proposed by these authors.

C. N. R. Rao

C.A. 1963. 58. 13

132959

XeF<sub>4</sub>  
УФ.  
Синтез  
1963

20 Б52. Спектроскопическое исследование тетрафторида ксенона в дальней ультрафиолетовой области. Jortner J., Wilson E. G., Rice S. A. A far-ultra-violet spectroscopic study of xenon tetrafluoride. «J. Amer. Chem. Soc.», 1963, 85, № 6, 815—816 (англ.)

Спектр поглощения XeF<sub>4</sub> (I) в газовой фазе в УФ-области до 1100 Å содержит стабильную полосу 2265 Å ( $f = 0,008$ ) и две сильные полосы 1840 ( $f = 0,22$ ) и 1325 Å ( $f = 0,80$ ), колебательная структура которых не разрушена. Полоса 2265 Å слишком интенсивна, чтобы ее можно было отнести к переходу синглет — триплет, и она интерпретирована как соответствующая запрещенному переходу  $a_{2u} \rightarrow e_u^+$ , проявляющемуся благодаря связи с колебанием типа  $E_u$  ( $\nu_{5a}$  и  $\nu_{5b}$ ) плоской квадратной молекулы (симметрия  $D_{4h}$ ). Наличие двух других переходов I рассматривается как результат расщепления уровней вследствие взаимодействия между соседними атомами F. Это расщепление должно быть порядка  $4\beta_{F-F}$ . Вычислен резонансный

х-1963-20



сел. крд.

интеграл  $\beta_{F-F} = 0,7$  эв для двух атомов F; находящихся на расстоянии 2,82 Å. В соответствии с этим предположением полосы 1850 Å ( $h\nu = 6,8$  эв) и 1325 Å ( $h\nu = 9,4$  эв) интерпретированы как x и y-компоненты поляризованных переходов  $b_{1g} \rightarrow e_u^+$  ( $h\nu(\text{выч.}) = 7,0$  эв) и  $a_{1g} \rightarrow e_u^+$  ( $h\nu(\text{выч.}) = 9,8$  эв), что хорошо согласуется с предложенной ранее интерпретацией спектра, проведенной на основе метода МО.

Э. Тетерин

1963

XeF<sub>4</sub>Cheney  
Korngut

18039 A FAR-ULTRAVIOLET, SPECTROSCOPIC STUDY OF XENON TETRAFLUORIDE. J. Jortner, E. G. Wilson, and S. A. Rice (Univ. of Chicago). J. Am. Chem. Soc., 85: 815-16 (Mar. 20, 1963).

The absorption spectrum of gaseous  $\text{XeF}_4$  was studied in the uv region to 1100 Å. A weak band appeared at 2265 Å, followed by two strong bands at 1840 and 1325 Å. M. O. orbitals relevant to the interpretation of the spectrum are given. The weak 2265 Å band is assigned to the forbidden  $a_{2u} \rightarrow e_u^+$  transition. The strong 1850 and 1325 Å bands are assigned to the allowed x, y polarized  $b_{1g} \rightarrow e_u^+$  and  $a_{1g} \rightarrow e_u^+$  transitions, respectively. (D.L.C.)

NSA - 1963 - 14 - 11

XeF, XeF<sub>2</sub> (До, Е, сибирь) 1963

Trotter J., Rice S.A.<sup>XI</sup>, Wilson E.G.,  
J. Chem. Phys., 1963, 38, 2302-03

10

Сспектр

если отнести

XeF<sub>4</sub> ( $\gamma_{Xe-F}$ , L FXeF) XI 1857 1963

Ibers J.A., Hamilton W.C.,

Science, 1963, 139, 106 - 107

Xenon tetrafluoride: crystal  
structure.

E.C. 申. H.

to

CA63

XeF<sub>4</sub> Joshua Tortner, E. Guy 1963  
Wilson, and Stuart A. Rice.

Noble-Gar Compdt., 1963, 358-88.  
Theoretical and experimental  
studies of the electronic  
structure of the xenon  
fluoride.

(Ku<sup>III</sup>XeF<sub>2</sub>)

XeF<sub>4</sub> L.L. Lohr, Jr. XI 1950 1963

William N. Lipscomb

J. Am. Chem. Soc. 85, 240-1 (1963)

Синтез ионного XeF<sub>2</sub>

и XeF<sub>4</sub>

(III, XeF<sub>2</sub>)

XeF<sub>4</sub> (exception. Crp-pa, received from May-1)

XI 1951

1963

Lohr L.L., Lipscomb W.N.,  
Noble-Gas Compds, 1963, 347-53



E.C. - P.H.

BEP - I 3856

1963

XeF<sub>2</sub> / (J., A.)  
XeF<sub>4</sub>

Nesbet R.K.

J. Chem. Phys., 1963, 38, w7, 1783-1784 (au2s)

Theory of inert-gas fluorides.

W

1+2 0.846

Aug, 1965, 11073

(9)

XeF<sub>4</sub>  
фторид  
ксенона

8 Б28. Ковалентный радиус ксенона. Sanderson R. T. The covalent radius of xenon. «Inorg. Chem.», 1963, 2, № 3, 660—661 (англ.)

1963

Оцененный ранее путем экстраполяции по кристаллическим радиусам «ковалентный радиус» инертного атома ксенона 2,09 Å (РЖХим, 1959, № 12, 41306) использован для сопоставления с найденным из опыта расстоянием Xe — F. При оценке электроотрицательности XeF<sub>4</sub> в 4,05 радиус Xe в этой молекуле равен  $\sqrt[3]{2,09^3/4,05} = 1,31$  Å, так что сумма радиусов Xe и F составляет 2,12 Å, а расстояние Xe — F должно составлять 0,92 от этой суммы (Sanderson R. T., «Science», 1951, 114, 670), т. е. 1,95 Å в удовлетворительном согласии с опытным значением  $1,92 \pm 0,03$  Å. Уменьшение радиуса Xe по сравнению с инертным атомом соответствует заряду на Xe +1,36, так что заряд на каждом атоме F равен -0,34. Легкая летучесть XeF<sub>4</sub>, несмотря на значительную полярность связей объясняется тем, что в других полярных фторидах (MgF<sub>2</sub>, AlF<sub>3</sub>) конденсация в полимерный кристалл происходит за счет свободных орбит катиона, тогда как у Xe таких орбит нет. На основании оцененных описанным образом радиусов предсказаны длины связей в XeF<sub>2</sub> (2,11 Å) и в KrF<sub>4</sub> (1,84 Å).

М. Дяткина

Х. 1964. 8

1963

Хебу  
Сир. б-ва

XIV 22.83

ЗД18. Ковалентный радиус ксенона. Sander-  
 son R. T. The covalent radius of xenon. «Inorgān. Chēm.»,  
 1963, 2, № 3, 660—661 (англ.)

Из данных по электроотрицательности  $\text{XeF}_4$  определена длина связи  $d(\text{XeF})$ . Вычисление значение  $d(\text{XeF}) = 1,95 \text{ \AA}$  находится в разумном согласии с известным  $(1,92 \pm 0,03 \text{ \AA})$ .

92. 1964. 30

1963

XI 2283

Covalent radius of xenon. R. T. Sanderson (Univ. of Iowa, Iowa City). *Inorg. Chem.* 2, 660-1(1963). On the basis of a correlation of electronegativity with covalent bond length (*Chemical Periodicity*, 1960 (*CA* 54, 11686g)) a bond length of 1.95 Å was calcd. for  $\text{XeF}_4$ . Similarly, bond lengths of 2.11 and 1.84 Å were predicted for  $\text{XeF}_2$  and  $\text{KrF}_4$ , resp. In the calcns. 2-electron bonds were assumed.

Thomas B. Hoover

 $(\Sigma_e)$ 

(3)

C.A.1963 59:5

4555ab

XI 2283

Теория  
строения

XeF<sub>4</sub>

KrF<sub>4</sub>

Диск

X - 1964-8

§ 8 Б28. Ковалентный радиус ксенона. Sanderson R. T. The covalent radius of xenon. «Inorg. Chem.», 1963, 2, № 3, 660—661 (англ.)

Оцененный ранее путем экстраполяции по кристаллическим радиусам «ковалентный радиус» инертного атома ксенона 2,09 Å (РЖХим, 1959, № 12, 41306) использован для сопоставления с найденным из опыта расстоянием Xe—F. При оценке электроотрицательности XeF<sub>4</sub> в 4,05 радиус Xe в этой молекуле равен  $\sqrt[3]{2,09^3/4,05} = 1,31$  Å, так что сумма радиусов Xe и F составляет 2,12 Å, а расстояние Xe—F должно составлять 0,92 от этой суммы (Sanderson R. T., «Science», 1951, 114, 670), т. е. 1,95 Å в удовлетворительном согласии с опытным значением  $1,92 \pm 0,03$  Å. Уменьшение радиуса Xe по сравнению с инертным атомом соответствует заряду на Xe +1,36, так что заряд на каждом атоме F равен —0,34. Легкая летучесть XeF<sub>4</sub>, несмотря на значительную полярность связей объясняется тем, что в других полярных фторидах (MgF<sub>2</sub>, AlF<sub>3</sub>) конденсация в полимерный кристалл происходит за счет свободных орбит катиона, тогда как у Xe таких орбит нет. На основании оцененных описанным образом радиусов предсказаны длины связей в XeF<sub>2</sub> (2,11 Å) и в KrF<sub>4</sub> (1,84 Å).

М. Дяткина

1963

XeF<sub>4</sub>

Shoichiro Yamada

Cryogenics

Rev. Phys. Chem. Japan., 33(1),  
39-40.

The molecular structures of  
compounds of rare-gas ele-  
ments.

(see. XeD<sub>3</sub>)

C.A. 1964. 60.3

1963

*XeF<sub>4</sub>*I-3700  
12250

CRYSTAL AND MOLECULAR STRUCTURE OF  
XENON TETRAFLUORIDE. David H. Templeton, Allan Zal-  
kin, J. D. Forrester, and Stanley M. Williamson (Univ. of  
California, Berkeley). J. Am. Chem. Soc., 85: 242(Jan. 20,  
1963).

The crystal structure of  $\text{XeF}_4$  was determined by x-ray diffraction at room temperature. The structure consists of a molecular packing of square-planar molecules of  $\text{XeF}_4$ .

The monoclinic unit cell has dimensions  $a = 5.050$ ,  $b = 5.922$ ,  $c = 5.771\text{\AA}$  (each  $\pm 0.003\text{\AA}$ ), and  $\beta = 99.6^\circ \pm 0.1^\circ$ .

With 2 molecules per cell the density is 4.04 g/ml. Intensities were measured for the 329 independent reflections of the primitive cell with  $\theta$  less than  $25^\circ$ . Of these, 36 were absent because of the space group symmetry. Calculations gave Xe-F bond distances of  $1.92$  and  $1.90\text{\AA}$ . (M.C.G.)

Bop - 5418-1

NSA-1963-17-8

XeF<sub>4</sub>

I-3700

1963

BGP - 5418-1

Crystal and molecular structure of xenon tetrafluoride.  
David H. Templeton, Allan Zalkin, J. D. Forrester, and Stanley  
M. Williamson (Univ. of California, Berkeley). *J. Am. Chem.*  
*Soc.* 85, 242(1963). X-ray diffraction studies show the mono-  
clinic unit cell has  $a$  5.050,  $b$  5.992,  $c$  5.771 (each  $\pm 0.003$  A.),  
 $\beta$   $99.6^\circ \pm 0.1^\circ$ . With  $Z = 2$  the d. is 4.04. Space group is  
 $P2_1/n$  and Xe atoms are at 0,0,0 and  $\frac{1}{2}, \frac{1}{2}, \frac{1}{2}$ . Least-squares  
analysis of the data leads to Xe-F bond distances of 1.92 and  
1.90 A. ( $\sigma = 0.02$  A.). The F-Xe-F bond angles are  $89.7^\circ$   
and  $90.3^\circ$  ( $\sigma = 0.9^\circ$ ). The mol. has planar symmetry and is  
sq. within exptl. accuracy. Correction for thermal motion  
gives an av. Xe-F distance of 1.93 A. F-F distances within the  
mol. are 2.69 and 2.71 A. ( $\sigma = 0.03$  A.). The shortest F-F  
contact between mols. is 3.33 A. D. A. House

C.A. 1963-58-10

9696d

**XeF<sub>4</sub>**

**35709** (UCRL-10804) A DETERMINATION OF THE CRYSTAL STRUCTURE OF XENON TETRAFLUORIDE.  
David H. Templeton, Allan Zalkin, J. D. Forrester, and Stanley M. Williamson (California Univ., Berkeley. Dept. of Chemistry and California. Univ., Berkeley. Lawrence Radiation Lab.). Apr. 1963. Contract W-7405-eng-48.

15p. (CONF-126-16)

*Computer*  
From Conference on Noble Gas Compounds, Argonne, Ill., Apr. 1963.

The crystal and molecular structure of  $\text{XeF}_4$  was determined by single-crystal x-ray-diffraction techniques. The intensities of  $\text{MoK}\alpha$  x rays diffracted by the crystal were measured with a scintillation counter. The monoclinic unit cell dimensions are  $a = 5.050 \text{ \AA}$ ,  $b = 5.922 \text{ \AA}$ ,  $c = 5.771 \text{ \AA}$  (each  $\pm 0.003 \text{ \AA}$ ), and  $\beta = 99.6^\circ \pm 0.1^\circ$ . The space group is  $P2_1/n$  with two molecules per unit cell. The xenon atoms occupy the corners and body centers so that the molecular packing is pseudo body-centered cubic. The molecule has a square planar configuration. The  $\text{Xe}-\text{F}$  bond distance is  $1.93 \pm 0.02 \text{ \AA}$ , after a correction of  $+0.02 \text{ \AA}$  for thermal vibration effects; the  $\text{F}-\text{Xe}-\text{F}$  bond angle is a right angle ( $90.4 \pm 0.9^\circ$ ) within the accuracy of the determination. (auth)

**1963**

1

- 57/8 - 1

Bsp

NSA.1963.17.21

Jo ( $\text{XeF}_4$ ,  $\text{ArF}_4$ ,  $\text{KrF}_4$ ,  $\text{NeF}_4$ ,  $\text{XeCl}_4$ <sup>1963</sup>,  
recent  $\text{KrCl}_4$ ,  $\text{XeF}_2$ ,  $\text{KrF}_2$ ,  $\text{XeCl}_2$ ).

Waters J.H., Gray H.B. <sup>XI</sup> 2429

J. Amer. Chem. Soc., 1963, 85, No,  
825-826

Bond energies and ionic character  
of inert gas halides

PX 6.3

20

6 ap. 2018

XI 2434

1963

XeF<sub>4</sub>

Weinstock B., Weaver S. S.,  
Knop Ch. P.

"Noble - Gas Compounds". Chicago,  
Univ. of Chicago Press, 1963,  
50-60.

The Xenon - fluorine system.

(cme. XeF<sub>2</sub>)

NSA.1964.18.4

Cryocrystal (XeO<sub>3</sub>, XeF<sub>2</sub>, XeF<sub>4</sub>, XeF<sub>5</sub><sup>+</sup>,  
XeF<sub>6</sub>) XI 2456. 1963

Yamada Shoichiro

Rev. Phys. Chem. Japán, 1963, 33,  
Nº, 39-40

The molecular structures of  
compounds of rare-gas elements

PX64 . 10

6 Aug 1968

XeF<sub>4</sub>

from Muller

Cheney

XI 1861

1963

The problem of chemical bonds in xenon tetrafluoride. Yigal Julius Israeli (Univ. Hebraique, Jerusalem). *Bull. Soc. Chim. France* 1963, 1336; cf. Rundle, *CA* 58, 8416a. In the  $D_{4h}$  crystal field of Xe the 4 bonding at. orbitals  $E_u(5p_x, 5p_y)$ ,  $A_{1g}(5s)$ , and  $B_{1g}(4d^2(z^2 - y^2))$  are combined with the 2p orbitals of the F atoms having the same symmetry, viz.  $E_u(p_1 - p_3; p_2 - p_4)$ ,  $B_{1g}(p_1 - p_2 + p_3 - p_4)$ , and  $A_{1g}(p_1 + p_2 + p_3 + p_4)$ . The bonding mol. orbitals so obtained are  $B_{1g}$ ,  $A_{1g}$ , and  $E_u$ , corresponding to  $dsp^2$  hybridization of 4 planar bonds. The nonbonding mol. orbitals are  $E_{2u}(5p_z)$ ,  $A_{1g}(4d^2(z^2))$ , and  $T_{2g}(4d^6)$ . Thus there are 2 free electron pairs along the z-axis, and XeF<sub>4</sub> should be capable of coordination with electron-acceptor mols. D. A. House

C.A. 1963. 59. 4  
4007 c

1963

XI 1861

XeF<sub>4</sub>

espresso

28839 THE PROBLEM OF CHEMICAL BONDS IN  
XENON TETRAFLUORIDE. Yigal Julius Israéli (Uni-  
versité Hébraïque, Jerusalem). Bull. Soc. Chim. France,  
No. 6, 1336 (June 1963). (In French)

An electron energy-level scheme is proposed to explain  
the chemical properties of XeF<sub>4</sub>, which has the planar  
crystal structure D<sub>4h</sub>. (T.F.H.)

NJA · 1963 · 17 · 17

$\text{Z}_\text{e} \text{F}_\text{y}$

Bohn R. K.

1964

(r, L)

Dissert. Abstes, 1964, 25, № 6,  
3282.

Всегда более сплошной и  
плотной материи электропо-  
ровой изоляции: юн- и  
макс. юн. фиброзные, газовые,  
гидравлические.

Кал, меліора фін орнега -  
зек, меліора фін орнг и  
тексафін орнг ксемона.

(сөл.  $\text{III} N_2 F_2$ )

Xef<sub>4</sub>

Bohn R.K.

1964

Thesis, Ithaca, N.Y., Cornell  
Univ., 118 p.

Исследование структуры монокристаллов синтетической эпоксидной гидроксилы: уксусно-йодисто-дигидрогородицеский,  $\text{UF}_2$ ,

$N_2F_4$ ,  $2eF_4$  u  $2eB_6$

(cse.  $N_2F_2$ )

XeF<sub>4</sub>

спектр и  
структур

1964

У 9 Д60. Электронная структура и спектр XeF<sub>4</sub>. Рассмотрение с помощью полуэмпирического метода MO. Boudreaux Edward A. Electronic structure and spectrum of XeF<sub>4</sub>. A semiempirical MO treatment. «J. Chem. Phys.», 1964, 40, № 1, 246—247 (англ.)

В рамках полуэмпирич. метода MO ЛКАО рассчитаны энергии и коэф. MO XeF<sub>4</sub>(D<sub>4h</sub>). При диагонализации секулярной матрицы недиагональные матричные элементы H<sub>ij</sub> рассчитывались по ф-ле

$$H_{ij} = -F(H_{ii}H_{jj})^{1/2}G_{ij},$$

где F<sub>σ</sub>=1,7 и F<sub>π</sub>=1,9 и G<sub>ij</sub> — интегралы перекрывания между группами атомов. В качестве диагональных матричных элементов использовались потенциалы ионизации из соответствующего валентного состояния. Рассчитанные энергии разрешенных синглет-синглетных переходов таковы: 1b<sub>2u</sub>→2b<sub>1g</sub> (9,88), 1b<sub>2g</sub>→3e<sub>u</sub> (6,99), 1a<sub>2g</sub>→3e<sub>u</sub> (6,95) и 1e<sub>g</sub>→3e<sub>u</sub> (7,00 эв). Оцененный эффективный заряд на Хе равен 0,412 эв, что находится в хорошем согласии с данными ЯМР и данными более

XI 20.93

© 1964. 98

раних вычислений. Рассчитанный потенциал ионизации равен 13,2 эв (экспериментально известен лишь потенциал ионизации  $\text{XeF}_2$ — $11,5 \pm 0,2$  эв). Отмечается, что проведенный учет высших состояний на атоме Xe (учитывались кроме  $5\ p$  также  $5\ d$ ,  $6\ s$  и  $6\ p$  АО) заметно влияет на теоретически рассчитанные характеристики  $\text{XeF}_4$ .

В. Быховский

1964

 $XeF_4$ 

Cynthia Juan Jameson,  
Gutowsky H.S.

cbaze

J. Chem. Phys., 40(8), 2285-93.

Calculation of chemical  
shifts. II. The xenon fluori-  
des.

(cu.  $XeF_2$ )

1964

XeF<sub>4</sub>

lib. use. parrot

No

Electronic structure and spectrum of XeF<sub>4</sub>. A semiempirical M.O. treatment. Edward A. Boudreaux (Louisiana State Univ., New Orleans). *J. Chem. Phys.* 40(1), 246-7(1964). Mol. bonding orbitals which involve the 5p, 5d, 6s, and 6p orbitals of Xe are calcd. for XeF<sub>4</sub>. The effective charge on Xe is computed to be 0.412, which is in good agreement with nuclear magnetic resonance data. The av. bond energy is calcd. to be 1.8 e.v., compared with the observed value of 1.4 e.v. The spectral characteristics are evaluated in terms of the symmetry-allowed singlet-singlet transitions.

Dorothy M. Goode

C.A. 1964. 60. 6  
6324f

XeF<sub>4</sub>

196

8358

ELECTRONIC STRUCTURE AND SPECTRUM  
OF XeF<sub>4</sub>. A SEMIEMPIRICAL MO TREATMENT. Ed-  
ward A. Boudreaux (Louisiana State Univ., New Orleans).  
J. Chem. Phys., 40: 246-7(Jan. 1, 1964).

Standard group theoretical methods were used in deriving various molecular-orbital combinations for XeF<sub>4</sub>. Spectral characteristics ascribed to symmetry-allowed singlet-singlet transitions are given. The effective charge on Xe in XeF<sub>4</sub> was computed to be 0.412, and is in good agreement with that inferred from NMR data. The ionization potential (13.2 ev) estimated from the data also seems reasonable.  
(P.C.H.)

NSA-1964-18-6

XeF<sub>2</sub>(ze); XeF<sub>4</sub>(z<sub>c</sub>) XI 1708 1964

Gellings P.J.,

Z. phys. Chem. (BRD), 1964, 43,  
N1-2, 123-125

Bond lengths in xenon(II)  
fluoride

PK-657 o φ. H.

40

XeF<sub>4</sub> Hyman Herbert H. 1964

J. Chem. Educ.

1964, 41, N4, 174-182.

Химия неизвестных разработок

(an <sup>III</sup>XeF<sub>2</sub>)

39-XI-1862

1964

XeF<sub>4</sub>

У.Г.Смир.

4 Д69. Количественная интерпретация ультрафиолетового спектра поглощения тетрафторида ксенона. Issraéli Yigal Julius. Tentative d'interprétation du spectre ultraviolet du difluorure de xénon. «Bull. Soc. chim. France», 1964, № 3, 649—650 (франц.)

С целью интерпретации УФ-спектра XeF<sub>4</sub> (I) в рамках метода МОЛКАО исследована электронная структура молекулы I. По сравнению с предыдущей работой автора (Israeli Y. I. «Bull. Soc. Chim.», 1963, 1336) дополнительно учтены  $\pi$ -МО. Установлена симметрия всех MO, возникающих из 9 s, p и d AO атома Xe, а также всех  $\sigma$  и  $\pi$  AO валентной оболочки четырех атомов F. Наблюдаемые на опыте три полосы поглоще-

сии. Испб.

оф. 1965. ЧР

ния молекулы I при 1325(0,80), 1850(0,22) и 2265(0,008) Å (в скобках указаны силы осцилляторов соответствующих полос) отнесены соответственно переходам  $b_{2g}(\pi) \rightarrow e_u^+(\sigma^+, \pi^+)$  ( ${}^1A_{1g} \rightarrow {}^1E_u$ ),  $e_g(\pi) \rightarrow e_u^+(\sigma^+, \pi^+) \times$   $\times ({}^1A_{1g} \rightarrow {}^1A_{2u})$  и  $a_{2u}(\pi) \rightarrow e_u^+(\sigma^+, \pi^+)$  (этот переход, характеризующийся малой силой осциллятора, является электронно-колебательным и может приводить к возбуждению колебаний). Подчеркивается, что первые два перехода характеризуются переносом заряда от лигантов (атомов F) на центральный атом Xe. Для третьего перехода характерно перераспределение электронной плотности в направлениях, перпендикулярных  $\sigma$ -связям.

В. Быховский

$\text{XeF}_4$

Y.P. Cheung

XI 1862

1964

Tentative interpretation of the ultraviolet spectra of xenon tetrafluoride. Yigal Julius Israeli (Hebrew Univ., Jerusalem). *Bull. Soc. Chim. France* 1964(3), 649-50. In  $\text{XeF}_4$ , the hybrid orbitals arise from a combination of orbitals of  $4\text{F}^-$  with orbitals of  $\text{Xe}^{4+}$  having the same symmetry, and details are given of the  $\sigma$  and  $\pi$  M.O.'s. The orbital transitions are detd. for the bands with max. at 1325, 1850, and 2265 Å. The Jahn-Teller effect serves to explain the large width of the 1850-Å. band. The 1325- and 1850-Å. transitions involve the transfer of electronic charge from the  $\text{F}^-$  ligand to the central  $\text{Xe}^{4+}$  ion. The weak oscillator strength of the 2265-Å. band shows that this is a vibronic transition.

M. M. de Maine

C.A. 1964 C1 N2 1964

1964

 $XeF_4$ 

Kauffman J. J.

Ch.28

J. Chem. Educ. 41(4), 183-4.

Bonding in xenon hexafluoride.

(See:  $XeF_2$ )

1964

X1 2141

XeF<sub>4</sub>

Chem. Abstr.

S. sp.

Mean amplitudes of vibration and thermodynamic functions of xenon tetrafluoride. G. Nagarajan (Oklahoma State Univ., Stillwater). *Acta Phys. Austriaca* 18(1), 11-19(1964)(in English). Force consts. of XeF<sub>4</sub> (possessing a sq. planar configuration with the symmetry point group  $D_{4h}$ ) were evaluated by Wilson's method. Valence force const. of Xe-F stretching mode is 2.8586 millidyynes/A., and force const. due to the out-of-plane bending is roughly 3 times greater than that due to the in-plane bending. The mean amplitudes of vibration were studied at  $T = 0$  and  $T = 298^{\circ}\text{K}$ . The values for the bonded atom pair Xe-F are 0.0429 A. at  $T = 0$  and 0.0475 A. at  $T = 298^{\circ}\text{K}$ , and those for the nonbonded atom pair F-F are 0.0940 A. and 0.1337 A. The molar thermodynamic functions (heat content, free energy, entropy, and heat capacity) of XeF<sub>4</sub> were calcd. by assuming a rigid rotator, harmonic oscillator model at 50-2000°K.

H. Schindlbauer

C.A. 1964. 61. 10

11351d

Xe F<sub>4</sub>

1964

6 Д102. Средние амплитуды колебаний и термодинамические функции тетрафторида ксенона. Nagajian G., Mean amplitudes of Vibration and thermodynamic functions of xenon tetrafluoride. «Acta phys. austriaca», 1964, 18, № 1, 11—19 (англ.)

Решена задача о норм. колебаниях молекулы тетрафторида ксенона. Молекула имеет плоскую квадратную конфигурацию и принадлежит к группе симметрии  $D_{4h}$ . Вычислены 10 силовых постоянных в естественных колебательных координатах и дано отнесение частот к типам симметрии. Вычислены элементы матрицы средних квадратичных амплитуд колебаний в координатах симметрии и средние квадратичные амплитуды колебаний в естественных колебательных координатах при  $T = 0$  и  $298^{\circ}$  К. Средние амплитуды колебаний связаны

XI 2141

9.1965. 68



ной пары атомов Xe—F равны 0,0429 Å при T=0° и 0,0475 Å при T=298° К. Для несвязанной пары атомов F...F соответственно получены величины 0,0940 Å и 0,1337 Å. В приближении гармонич. осциллятора и жесткого ротора вычислены термодинамич. ф-ции при 24 значениях т-ры в интервале 50—2000° К. Использованные в расчете главные значения моментов инерции равны  $I_{xx}=I_{yy}=240,7635$ ;  $I_{zz}=481,5270 \cdot 10^{-40}$  гсм<sup>2</sup>.

В. Березин

XeF<sub>4</sub>

XI 2141

1964

**43452** MEAN AMPLITUDES OF VIBRATION AND  
THERMODYNAMIC FUNCTIONS OF XENON TETRAFLU-  
ORIDE. G. Nagarajan (Oklahoma State Univ., Stillwater).  
Acta Phys. Austriaca, 18: 11-19(1964).

The vibrational and molecular structural analyses for xenon tetrafluoride molecule possessing a square planar configuration with the symmetry point group D<sub>4h</sub> are comprehensibly reported. The mean amplitudes of vibration at the temperatures T = 0 and T = 298°K were studied after evaluating the force constants. The molar thermodynamic functions were also calculated on the basis of a rigid rotator, harmonic oscillator approximation for the temperature range from 50 to 2000°K. (auth)

NSA-1964-18-24



$\text{XeF}_4$  Pysh E.S. Yortner J. 1964  
Rice S.A.

J. Chem. Phys., 1964, 40, 2018

Зависимость длины волн  
переходов в  $\text{Xe}^{+2}$ ,  $\text{XeF}_4$

( $\text{cu} \equiv \text{XeF}_2$ )

XeF<sub>2</sub>; XeF<sub>4</sub>; XeF<sub>6</sub> ( $\gamma_{Xe}$ -F) 1965

Ch'ing Yun Lui, xi 990

Hua, Hsueh Tung Pao, 1965,  
(6), 375-376

New estimation of covalent  
radii of the inert element.

20

Ca 1966

$XeF_4$

6 Д79. Об энергиях валентных состояний в соединениях инертных газов и некоторых других галогенидах.  
Дяткина М. Е., Чаркин О. П. «Ж. структурн. химии», 1965, 6, № 1, 174—176

1965

$XeF_2$

Обсуждаются данные об энергиях возбуждения атомов инертных газов. Показано, что энергии их валентных состояний значительно выше, чем энергии возбуждения. Поэтому возбуждение с возникновением даже двух неспаренных электронов представляется маловероятным, т. к. необходимая энергия едва ли может окупиться образованием двух связей (в галогенидах инертных газов.) В связи с этим авторы делают вывод, что объяснение образования связей в соединениях инертных газов за счет взаимодействия неспаренных электронов несостоительно. Авторы считают, что в соединениях инертных газов более вероятно возникновение трехцентровых MO за счет пар электронов нейтрального атома и неспаренных электронов лигантов. Оценки энергии диссоциации отдельных связей в  $XeF_4$  и  $XeF_2$  подтверждают это предположение.

XI 2506

ф. 1965. 68

vi (XeF<sub>2</sub>, KrF<sub>2</sub>) XI-1272 1965

Krishnamachari S.R.N.Y.,  
Narasimham M.t., Singh M.,  
Current Sci (India), 1965,  
34, N 3, 75-77

10

pop 64

XeF<sub>4</sub>

Melton Ch. 8.,

1965

Jay H. W.

(J)

B90-M335-11

J. Chem. Phys., 42(8), 2982

Calculated ionization po-  
tential of CCl<sub>2</sub>H<sub>2</sub>, CCl<sub>4</sub>,

CF<sub>2</sub>H<sub>2</sub>, CF<sub>4</sub>, CCl<sub>2</sub>F<sub>2</sub>, XeF<sub>4</sub>,

XeCl<sub>4</sub>

(CCl<sub>2</sub>H<sub>2</sub>)

1965

XeF<sub>4</sub>

4 Д222. Анализ нормальных координат XeF<sub>4</sub> в поле Юри — Брэдли. Уеганос Уолтер А. Normal coordinate analysis of XeF<sub>4</sub> in the Urey-Bradley field. «Molec. Phys.», 1965, 9, № 5, 449—454 (англ.)

Приводятся ф-лы для координат симметрии молекулы и для элементов матрицы кинематич. коэф. и силовых постоянных в этих координатах. Расчет выполнен с потенц. ф-цией Юри — Брэдли, содержащей 4 силовые постоянные. Вычисление частот колебаний выполнено путем диагонализации матриц кинематич. коэф. и силовых постоянных в отдельности. Вычислены элементы матрицы форм колебаний и распределения потенц. энергии по частотам и силовым постоянным. Молекула принадлежит к группе симметрии D<sub>4h</sub>; электронный переход  $a_{2u} \rightarrow e_u$  запрещен. Показано, что наблюдаемая при 44 150 см<sup>-1</sup> полоса может быть отнесена к вибронному переходу, разрешенному вследствие взаимодействия с колебаниями типов симметрии a<sub>2u</sub> и e<sub>u</sub> с частотами 291, 586 и 182 см<sup>-1</sup>.

М. Ковнер

97.19.66.

118

XeF<sub>4</sub> VII 2462 1965

Normal coordinate analysis of XeF<sub>4</sub> in the Urey-Bradley (U.B.) field. Walter A. Yeranos (Northern Illinois Univ., DeKalb). *Mol. Phys.* 9(5), 449-54(1965)(Eng). This analysis was carried out, within the formalism of Wilson's G-F matrix method, by using a IBM 1620 computer. The U.-B. potential consts. and normal coordinates of XeF<sub>4</sub> are given. 17 references.

BGJN

CA 1966 64 2  
1372 6

XeF<sub>4</sub>  
XeOF<sub>2</sub>

XI 13.20

1906

7999v Hydrolysis of xenon tetrafluoride at -80°. J. S. Ogden and L. J. Turner (Univ. Chem. Lab., Cambridge, Engl.). *Chem. Commun.* 1966(19), 693-4(Eng). XeF<sub>4</sub> and H<sub>2</sub>O vapor were sprayed from 2 sep. vacuum systems onto a CsI window cooled to -80° in an all-metal Dewar vessel. The solid deposit was bright yellow. Three ir absorption bands were observed, at 747, 520, and  $490 \pm 5 \text{ cm.}^{-1}$ , in addn. to bands due to HF and ice. XeF<sub>4</sub> alone gave a broad band at  $282 \pm 3 \text{ cm.}^{-1}$ . Deposition of H<sub>2</sub>O on top of this produced the same 3 bands, but reaction ceased quickly, presumably because H<sub>2</sub>O cannot diffuse into XeF<sub>4</sub> at this temp. The 3 bands grow in intensity together, and disappear together on warming up the CsI window; owing to reaction with the excess of H<sub>2</sub>O the final product, identified by its ir spectrum, is XeO<sub>3</sub>. The 3 bands thus belong to the same species. On using D<sub>2</sub>O, the higher-frequency bands due to HF and ice shifted to lower frequency, but the 3 low-

+ 1 rev

C.A. 1967-66-2



frequency bands remained unaffected. On using a mixt. of  $H_2^{18}O/H_2^{16}O$  ( $^{18}O:^{16}O$  3:2) bands were observed at 747, 710, 520, and 490 cm. $^{-1}$ . With  $XeF_4$  and  $H_2O$  together in a quartz app. at  $-80^\circ$  no E.S.R. signal from the product can be observed. The E.S.R. and ir work suggest that the reaction product at  $-80^\circ$  contains no H (no D shift with  $D_2O$ ), 1 atom of O (only 2 bands around 700 cm. $^{-1}$  by using a 3:2  $^{18}O:^{16}O$  mixt.), and hence, assuming the species contains Xe, and is uncharged, must contain an even number of F atoms (no E.S.R. signal). The ir spectra of the known O fluorides and of  $XeOF_4$  do not correspond to the observed bands;  $XeOF_6$  seems unlikely, and hence  $XeOF_2$  is the most likely product. It is possible that the yellow intermediate is not present in sufficient quantities to give an ir spectrum, and a different colorless compd. is produced at the same time. If the product (yellow or colorless)



is  $XeOF_2$ , the most likely structure is  $F-\overset{\text{O}}{\underset{\text{O}}{\text{Xe}}} -F$ , i.e., planar, with an  $\text{O}-\text{Xe}-\text{F}$  angle of  $\sim 90^\circ$ . The  $\text{O}-\text{Xe}-\text{F}$  angle in  $XeOF_4$  is  $92^\circ$  and is thus similar to the pentafluorides of Br and Cl where the  $\text{F}-\text{X}-\text{F}_4$  angle is  $\sim 90^\circ$ .  $XeOF_2$  might therefore be compared with  $ClF_3$ , where the  $\text{F}-\text{X}-\text{F}_2$  angle is  $89^\circ$ . On this analogy,  $XeOF_2$  has  $C_2v$  symmetry, and 6 fundamental normal modes of vibration. By assuming a diatomic  $\text{Xe-O}$  group, and using the frequency 747 cm. $^{-1}$  a value of 4.7 millidynes/A. is obtained for the  $\text{Xe-O}$  stretching force const. A similar calcn. for  $XeOF_4$  gives 7.2 millidynes/A. compared with 7.08 millidynes/A. by using the full force-field. The bands at 520 and 490 are reasonably assigned to  $\text{Xe-F}$  stretching vibrations. The  $\text{Xe-F}$  stretching vibrations in  $XeOF_4$  are not very different from the approx. corresponding vibrations in  $XeF_4$ , and the 2  $\text{Xe-F}$  stretching frequencies in  $XeF_2$  are at 557 (asym.) and 496 (sym.) cm. $^{-1}$

H. Sadek

XeF<sub>2</sub>, XeF<sub>4</sub>, XeF<sub>6</sub> (Эксперименты)  
XeF<sub>2</sub>, XeF<sub>4</sub>, XeF<sub>6</sub> (эксперименты)  
XI 1418 3 ~~S, <sup>A</sup>He, <sup>A</sup>Sr, <sup>133</sup>Ba~~

Weinstock B., Weaver E. E., Knop Ch. P.,

Journ. Chem., 1966, 5(12), 2189-203.

The Xenon-fluorite system.

Багаевъ  
Багаевъ

M (P)

ECT: CA 1967, 66, № 4, 16146а

XeF<sub>6</sub>)  
XeF<sub>4</sub> (emphaloc)  
XeF<sub>2</sub>)

" XI 1422 1866

Willett R. D.

Theoret. Chem. Acta, 1966, 6, no 2, 186-187<sup>2</sup>

A comment on the bonding in XeF<sub>6</sub>.

O 7  
W

Publ. 1967. 18558

XeF<sub>4</sub>

XI 24.59

1966

14 Б51. Полуэмпирические энергетические уровни молекулярных орбит XeF<sub>4</sub>. Уеганос Уальтер А. Semiempirical molecular orbital energy levels of XeF<sub>4</sub>. «Molec. Phys.», 1966, 11, № 1, 85—92 (англ.)

В приближении типа Вольфсберга — Гельмгольца вычислены одноэлектронные энергетич. уровни молекулы XeF<sub>4</sub>. Базис включал 4d-, 5s-, 5p-, 5d-, 6s-функции центрального атома и 2s-, 2p-орбиты лигандов, причем рас-

X. 1967. 14

сматривались 38 электронов молекулы (18 от Xe и по 5 от каждого атома F). В отличие от прежних исследований, использованы аналитические самосогласованные функции атома Xe и учтено перекрывание лиганд — лиганд. Кроме того, резонансные интегралы вычислялись по новой полуэмпирической формуле  $H_{ij} = F_x G_{ij} H_{ii} H_{jj} / [(H_{ii} + H_{jj})/2]$ , где  $G_{ij}$  — интеграл группового перекрывания;  $F_x = 2$  как для  $\sigma$ -, так и для  $\pi$ -связей. На основе полученных результатов рассчитан дальний УФ-спектр XeF<sub>4</sub> в хорошем согласии с экспериментом. Обсуждены недостатки прежних расчетов.

Е. М. Шусторович

XeF<sub>4</sub>

XL 2459

1966

Semiempirical molecular orbital energy levels of XeF<sub>4</sub>. Walter A. Veranos (Northern Illinois Univ., Dekalb). *Mol. Phys.* 11(1), 85-92(1966)(Eng). By using anal. S.C.F. wave functions for Xe, the 1-electron mol. orbital energies of XeF<sub>4</sub> have been redetd. in the Wolfsberg-Helmholz semiempirical approxn. The present study takes into account ligand-ligand overlap and uses the reciprocal mean for the semiempirical evaluation of the resonance integrals.. The calcns. fit well with the observed electronic transitions in the far uv.

L. C. Cerny

C.A. 1966. 65:13  
194678

XeF<sub>4</sub>

XI 2459

1966

Д 110. Уровни энергии XeF<sub>4</sub>, рассчитанные с помощью полуэмпирического метода молекулярных орбиталей. Уеганос Walter A. Semi-empirical molecular orbital energy levels of XeF<sub>4</sub>. «Molec. Phys.», 1966, 11, № 1, 85—92 (англ.)

В рамках полуэмпирич. варианта метода МО ЛКАО, предложенного Вольфсбергом и Гельмгольцем с использованием самосогласованных атомных электронных волн. ф-ций Xe, рассчитаны молекулярные орбитали XeF<sub>4</sub> и их энергии. Подчеркивается, что настоящий расчет более полный, чем аналогичные вычисления, предпринятые ранее: учитывается перекрывание между лигандами (атомами фтора), вместо стандартных слейтеровских АО (которые, по-видимому, непригодны для аппроксимации

91 · 1967 · 42

АО с высокими квантовыми числами) применяются АО Хартри—Фока, вместо геометрич. среднего при расчете резонансных интегралов используется усреднение обратных значений. Полученные результаты очень хорошо согласуются с имеющимися спектральными данными для  $\text{XeF}_4$ , при этом такое согласие имеет место для всех 5 рассчитанных в работе электронных переходов.

В. Быховский

*XeF<sub>4</sub>*

10 Д156. Вычисление силовых постоянных некоторых молекул и ионов типа XY<sub>4</sub> симметрии D<sub>4h</sub> по «методу кратчайшего решения» в общем валентном силовом поле. Fadini A., Müller A. Berechnung von Kraftkonstanten des allgemeinen Valenzkraftfeldes einiger Moleküle und Ionen vom Typ XY<sub>4</sub> mit D<sub>4h</sub>-symmetrie nach dem Verfahren der nächsten Lösung [1]. «Moléc. Phys.», 1967, 12, № 2, 145—148 (нем.; рез. англ.)

сил. ионов. По «методу кратчайшего решения» вычислены силовые постоянные ряда молекул, имеющих симметрию D<sub>4h</sub>: XeF<sub>4</sub>, JCl<sub>4</sub><sup>-</sup>, PtCl<sub>4</sub><sup>2-</sup>, AuCl<sub>4</sub><sup>-</sup>, AuBr<sub>4</sub><sup>-</sup> и [Pt(NH<sub>3</sub>)<sub>4</sub>]. Последние находятся в соответствии с найденными другими методами. Силовая постоянная связи Xe—F увеличивается в ряду XeF<sub>2</sub>, XeF<sub>4</sub> и XeOF<sub>4</sub>. Полагают, что сила связи растет с уменьшением числа неподеленных пар электронов у атома Xe. Подобным образом силовой коэф. связи JCl в JCl<sub>4</sub><sup>-</sup> больше, чем в JCl<sub>2</sub><sup>-</sup>. Я. М. К.

*09.1987. 10**8*

XeF<sub>4</sub>

силовые  
постоян.

Вер - ЧОЧI - VI

1967

) 20 Б89. Вычисление силовых постоянных общего валентно-силового поля некоторых молекул и ионов типа XY<sub>4</sub> симметрии D<sub>4h</sub> методом последовательных приближений. Fadini A., Müller A. Berechnung von Kraftkonstanten des allgemeinen Valenzkraftsfeldes einiger Moleküle und Ionen vom Typ XY<sub>4</sub> mit D<sub>4h</sub>-Symmetrie nach dem Verfahren der nächsten Lösung (1). «Molec. Phys.», 1967, 12, № 2, 145—148 (нем., рез. англ.)

Вычислены силовые постоянные XeF<sub>4</sub>; YCl<sub>4</sub><sup>-</sup>; PtCl<sub>4</sub><sup>2-</sup>; AuCl<sub>4</sub><sup>-</sup>; AuBr<sub>4</sub><sup>-</sup> и Pt(NH<sub>3</sub>)<sub>4</sub><sup>2+</sup> симметрия которых D<sub>4h</sub>. Приводится схема преобразования внутренних координат в координаты симметрии для соединения симметрии D<sub>4h</sub>.

X · 1967 : 20

☒

Из литературных данных взяты частоты колебаний. Расчет силовых постоянных проводился путем уточнения силового поля до совпадения наблюдаемых и вычисленных частот путем последовательных приближений методом Г; F-матриц. Приведены силовые поля  $\text{XeF}_4^-$ ;  $\text{YCl}_4^-$ ;  $\text{PtCl}_4^{2-}$ ;  $\text{AuCl}_4^-$ ;  $\text{AuBr}_4^-$ ;  $\text{Pt}(\text{NH}_3)_4^{2-}$ . Отмечается возрастание силовой постоянной XY-связи (значения приведены в скобках) в рядах  $\text{XeF}_2$  (2,83);  $\text{XeF}_4$  (3,02);  $\text{XeOF}_4$  (3,26); и  $\text{YCl}_2$  (0,94);  $\text{YCl}^-$  (0,26). Предполагается, что прочность связи растет с уменьшением числа неподеленных электронных пар у атомов Xe.

А. Я. Фридман

Rao

Bcp-4044-VI

1964

XeF<sub>4</sub>

Ces. woch.

25742q Calculation of force constants of the general valence force field for some XY<sub>4</sub>-type molecules and ions with D<sub>4</sub>-symmetry according to the method of the closest approximation. A. Fadini and A. Mueller (Tech. Hochsch., Stuttgart, Ger.). *Mol. Phys.* 12(2), 145-8(1967)(Ger). The force consts. of the general valence force field are calcd. according to the method of the closest approxn. for XeF<sub>4</sub>, ICl<sub>4</sub><sup>-</sup>, PtCl<sub>4</sub><sup>2-</sup>, AuCl<sub>4</sub><sup>-</sup>, AuBr<sub>4</sub><sup>-</sup>, and Pt(NH<sub>3</sub>)<sub>4</sub><sup>2+</sup>. DYJG

+5

CIA 1964 67 6

XeF<sub>4</sub>

XI 1223

1967

27452u Vibrations of planar symmetrical XY<sub>4</sub> molecules with application to xenon tetrafluoride. Georg Hagen (Inst. Teoretisk Kjemi, Norges Tek. Hoeyskole, Trondheim, Norway). *Acta Chem. Scand.* 21(2), 465-72(1967)(Eng). The distribution of vibrations in the appropriate D<sub>4h</sub> symmetry group is chosen, contrary to other authors, as A<sub>1g</sub> + B<sub>1g</sub> + B<sub>2g</sub> + A<sub>2u</sub> + B<sub>2u</sub> + 2E<sub>u</sub>: here terms B<sub>1g</sub>, B<sub>2g</sub>, and B<sub>2u</sub> represent the stretching mode, the bending, and the ring deformation along an XY bond. Calcdns. are included of the mean sq. perpendicular amplitudes, shrinkage effects, and addnl. results from a harmonic vibration analysis for the Coriolis consts. and centrifugal stretching consts. This model proves more satisfactory by the emergence of regularities in the Coriolis consts. involving the E<sub>u</sub> coordinates. Vibrational frequencies adopted are those recently given by Claasen. 20 references.

H. Marshall

C.A. 1967-64-6

XI 1223

1967

ХеF<sub>4</sub>

10 Д155. Колебания плоских симметричных молекул XY<sub>4</sub>, применение к тетрафториду ксенона. Hagen G. org. Vibrations of planar symmetrical XY<sub>4</sub> molecules with application to xenon tetrafluoride. «Acta chem. scand.», 1967, 21, № 2, 465—472 (англ.)

см. пост.

Дана теоретич. трактовка гармонич. колебаний плоской (квадратной) молекулярной модели XY<sub>4</sub>, включающая исследование кориолисовых взаимодействий, колебаний и вращения и центробежного искажения. Особое значение придается вычислению матричных элементов среднеквадратичных амплитуд и связанных с ними величин, а именно: средней амплитуды колебаний и эффектов сокращения. Теория применяется к тетрафториду ксенона, для которого приводятся рассчитанные силовые постоянные вместе с численными результатами для вышеупомянутых величин.

Резюме

09.1967.10

*XeF<sub>4</sub>*

*Синтез  
исследование*

XI 1223

1967

20 Б92. Колебания плоских симметричных молекул XY<sub>4</sub> с применением к тетрафториду ксенона. Hagen Georg. Vibrations of planar symmetrical XY<sub>4</sub> molecules with application to xenon tetrafluoride. «Acta chem. scand.», 1967, 21, № 2, 465—472 (англ.)

Дана теоретич. трактовка гармонич. колебаний плоской (квадратной) молекулярной модели XY<sub>4</sub>, включающая исследование кёриолисовых взаимодействий колебаний и вращения и центробежное искажение. Особое значение придается вычислению матричных элементов среднеквадратичных амплитуд и связанных с ними величин, а именно средней амплитуды колебаний и эффектов сжатия. Теория применяется к тетрафториду ксенона, для которого приводятся рассчитанные силовые постоянные вместе с численными результатами для вышеупомянутых величин.

Резюме

X · 1967 · 20

XeF<sub>4</sub>

1967

2 Д153. Теоретическое определение среднеквадратичных амплитуд колебаний в XeF<sub>2</sub> и XeF<sub>4</sub>. Yeranos Walter A. A theoretical evaluation of the root-mean-square amplitudes of vibration in XeF<sub>2</sub> and XeF<sub>4</sub>. «Molec. Phys.», 1967, 12, № 6, 529—532 (англ.)

Получены ф-лы, выражающие среднеквадратичные амплитуды колебаний  $\epsilon$  в координатах симметрии молекул XeF<sub>4</sub> и XeF<sub>2</sub> через среднеквадратичные амплитуды колебаний  $\sigma$  валентных и деформац. естественных колебательных координат. По этим ф-лам определены численные значения величин  $\epsilon$  и  $\sigma$  для 298° К. Средние значения амплитуд колебаний расстояний Xe—F<sub>1</sub>, F<sub>1</sub>—F<sub>2</sub>, F<sub>1</sub>—F<sub>3</sub> в XeF<sub>4</sub> равны 0,0465; 0,1101; 0,0633 Å. Измеренные значения первых двух величин равны 0,05 и 0,10 Å. Вычисленные соответствующие значения для Xe—F и F—F в XeF<sub>2</sub> равны 0,0469 и 0,0638 Å. Сравнение этих данных указывает на сходство химич. связей в обеих молекулах.

М. А. Ковнер

(См. такие XeF<sub>2</sub>) III

9.1968.28

XeF<sub>4</sub>

B9-XI-1675

1968

XeF<sub>6</sub>

IF<sub>7</sub>

gen. molec.

90063d Molecular structure of xenon hexafluoride and iodine heptafluoride. W. E. Falconer, A. Buehler, James L. Stauffer, and William Klemperer (Bell Teleph. Lab., Inc., Murray Hill, N.J.). *J. Chem. Phys.* 48 (1), 312-18(1968)(Eng). The deflection of mol. beams of XeF<sub>2</sub>, XeF<sub>4</sub>, XeF<sub>6</sub>, and IF<sub>7</sub> in an inhomogeneous elec. field has been examd. From the defocusing behavior of each of these species, it is concluded that the elec. dipole moment  $\mu$  is less than 0.03 D. for XeF<sub>4</sub>, XeF<sub>6</sub>, and IF<sub>7</sub>, if these mols. have rigid structures. The upper limit for the polarity of nonrigid (inverting) structures is  $(\mu/\Delta^{1/2}) < 0.1 \text{ D.}/(\text{cm.}^{-1})^{1/2}$ , where  $\Delta$  is the sepn. between inversion doublets. These results imply mol. structures with symmetry-forbidden elec. dipole moments for XeF<sub>4</sub>, XeF<sub>6</sub>, and IF<sub>7</sub>. 24 references. RCJQ

C.A. 1968. 68. 20



XeF<sub>4</sub>

39 - XI - 16 75.

1988

10 Д116. Структура молекул XeF<sub>6</sub> и JF<sub>7</sub>. Falco-  
нег W. E., Büchler Alfred, Stauffer James L.,  
Klemperer William. Molecular structure of XeF<sub>6</sub>  
and JF<sub>7</sub>. «J. Chem. Phys.», 1968, 48, № 1, 312—318 (англ.)

Сделана попытка определить структуру молекул XeF<sub>6</sub>  
и JF<sub>7</sub>, изучая отклонение пучков этих молекул в неоди-  
родном электрич. поле. Исследовались также пучки XeF<sub>2</sub>  
и XeF<sub>4</sub>. Найдено, что даже при потенциале квадруполь-

09. 1988.

100



ной линзы  $\sim 35$  кв рефокусировка пучков всех исследованных молекул не превышала  $\sim 0,1\%$ , тогда как для молекул  $\text{XeOF}_4$  и  $\text{NH}_3$  условия рефокусировки обеспечиваются при потенциале  $\sim 1$  кв. В приложении проведен подробный анализ эксперимента, который показал следующее:  $\text{XeF}_2$  из-за деформационных колебаний может обладать электрич. дипольным моментом  $<0,5$  ед. Дебая. Для молекул  $\text{XeF}_4$ ,  $\text{XeF}_6$  и  $\text{JF}_7$  в случае жесткой структуры типа симметричного волчка максимально возможный дипольный момент  $\mu$  не превышает 0,03 ед. Дебая, если же для них возможны инверсные конфигурации (типа  $F_{1\mu}$  для  $\text{XeF}_6$ ), то произведение  $\mu\Delta^{1/2} < 0,1$  ед. Дебая/ $\text{см}^{-1/2}$ , где  $\Delta$  — величина дублетного расщепления колебательных уровней ( $v=0,1$ ). Это позволяет значительно сократить число возможных классов симметрии исследованных молекул.

Ю. Н. Беляев

1968

XII 537

Ref 4

V) Д148. Силовое поле, коэффициенты взаимодействия Кориолиса, обобщенные средние квадратичные амплитуды колебаний и постоянные сокращения молекул  $\text{XeF}_4$  и  $\text{XeOF}_4$ . Venkateswarlu K., Babu K. Joseph. Force field, coriolis coupling coefficients, generalized mean square amplitudes of vibration and shrinkage constants of  $\text{XeF}_4$  and  $\text{XeOF}_4$ . «Acta phys. Acad. scient. hung.», 1968, 24, № 2—3, 139—145 (англ.; рез. русск.)

Решены задачи о норм. колебаниях молекул  $\text{XeF}_4$  и  $\text{XeOF}_4$ . Для первой из них применена система силовых постоянных в валентно-силовых координатах, а для второй — система Юри—Бредли. Приводятся ф-лы для

95. 1969.

18

X

силовых постоянных в координатах симметрии, различные соотношения между постоянными Кориолиса и ф-лы для вычисления линейного и нелинейного эффектов сокращения. Для обеих молекул получены отнесения частот к типам симметрии и численные значения силовых постоянных, постоянных Кориолиса, коэф. сокращения и обобщенных средних квадратичных амплитуд колебаний межатомных расстояний.

М. А. Ковнер

(69819r) Force field, Coriolis coupling coefficients, generalized mean square amplitudes of vibration and shrinkage constants of  $\text{XeF}_4$  and  $\text{XeOF}_4$ . Venkateswarlu, K.; Joseph, K. Babu (Kerala Univ., Alwaye, India). *Acta Phys. (Budapest)* 1968, 24(2-3), 139-45 (Eng). Normal coordinate analyses of  $\text{XeF}_4$  and  $\text{XeOF}_4$  have been carried out by using the general valence and Urey-Bradley force fields, resp. The Coriolis coupling coeffs., generalized mean sq. amplitudes and shrinkage consts. have also been evaluated. The values obtained in both cases have been discussed in relation to each other. According to the simple treatment of bonding in Xe fluorides, there are two nonbonding electron pairs above and below the  $\text{Xe}-\text{F}_4$  plane in  $\text{XeF}_4$ . One of these pairs is utilized in the bonding  $\text{Xe}-\text{O}$  with a consequent increase of charge on Xe. This increased charge reduces the amplitude of the Xe atom leading to a lowering of the corresponding Xe-F frequency value. The shrinkage constants are different in the two mols. It has been shown that the general valence force field and modified Urey-Bradley force field give a satisfactory fit between the observed and calcd. frequencies of  $\text{XeF}_4$  and  $\text{XeOF}_4$ , resp. The calcd. values agree with the values of previous authors.

A. Kremheller

C.i.A. 1968 - 69 - 18

XI 537

XeF<sub>4</sub>

XeOF<sub>4</sub>

(act. no. 8, 1)

XI 540

1968

22128z Force field, Coriolis coupling coefficients, generalized mean square amplitudes of vibration, and shrinkage constants of XeF<sub>4</sub> and XeOF<sub>4</sub>. Venkateswarlu, K.; Babu, Joseph K. (Kerala Univ., Alwaye, India). *Acta Phys. Acad. Sci. Hung.* 1968, 24(1), 95-101 (Eng). Normal coordinate analyses of XeF<sub>4</sub> and XeOF<sub>4</sub> were carried out by using the general valence and Urey-Bradley force fields, resp. The Coriolis coupling coeffs., generalized mean sq. amplitudes, and shrinkage consts. were also evaluated. The values obtained in both cases are discussed in relation to each other. The perpendicular mean sq. amplitudes  $\langle \Delta Z^2 \rangle$  and  $\langle \Delta y^2 \rangle$  assocd. with the Xe-F and Xe-O bonds are greater than the corresponding  $\langle \Delta z^2 \rangle$  values. The parallel

(+) way

C.A. 1968. 69.6



mean sq. amplitude of Xe-F in  $\text{XeOF}_4$  is a little lower than in  $\text{XeF}_4$ . This lowering in the value of  $\langle \Delta z^2 \rangle$  of Xe-F may be due to the increase in the charge on Xe owing to the bonding Xe-O. According to the simple treatment of bonding in Xe fluorides (N. Bartlett, 1964), there are 2 nonbonding electron pairs above and below the  $\text{Xe-F}_4$  plane in  $\text{XeF}_4$ . One of these pairs is utilized in the bonding Xe-O, with a consequent increase of charge on Xe. This increased charge reduces the amplitude of the Xe atom leading to a lowering of the Xe-F  $\langle \Delta z^2 \rangle$  value. The shrinkage consts. are different in the 2 mols.

A. Kremheller

XI 40

1969

XeF<sub>6</sub>

XeF<sub>4</sub>

E<sub>i</sub>

8 Б117. Пороговое возбуждение электронным ударом и образование отрицательных ионов в XeF<sub>6</sub> и XeF<sub>4</sub>.  
Begin G. M., Compton R. N. Threshold electron-impact excitation and negative-ion formation in XeF<sub>6</sub> and XeF<sub>4</sub>. «J. Chem. Phys.», 1969, 51, № 6, 2367—2370 (англ.)

Исследованы процессы возбуждения и диссоциации молекул XeF<sub>6</sub> и XeF<sub>4</sub> с образованием отрицат. ионов при электронном ударе в газовой фазе. Регистрация отрицат. ионов проводилась масс-спектрометрич. методом. Показано, что при энергиях электронов E=0—10 эв как в XeF<sub>6</sub>, так и в XeF<sub>4</sub> образуются гл. обр. ионы F<sub>2</sub><sup>-</sup>, XeF<sup>-</sup>, XeF<sub>2</sub><sup>-</sup>, XeF<sub>3</sub><sup>-</sup>, XeF<sub>4</sub><sup>-</sup> и F<sup>-</sup>. Определены энергии ряда расположенных ниже уровней XeF<sub>6</sub> и XeF<sub>4</sub>. Отмечено отсутствие уровней этих молекул в интервале 1—3 эв.

М. Р. Алиев

X. 1970. 8

XeF<sub>4</sub>

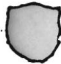
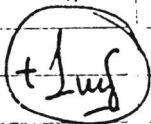
VII 3778

1969

Туманов Ю.Н.,  
Талкин Н.П.

код. и фр.  
характер-ка;  
н. о.

Ж. Pres. Хххххххх,  
1969, 43, NY, 836



СИУФУ 111

XeF<sub>2</sub>, XeF<sub>4</sub>, XeF<sub>6</sub> (paerem E, Do, u.n.) 101  
14 2302

Basch H., Moskowitz Y.W., Hollister  
C., Hankin D.

J. Chem. Phys., 1971, 55, N4, 1922-1933  
(cont.)

Self-consistent-field studies  
of the series XeF<sub>n</sub>, n = 2, 4, 6.

Bk Rev, 1972, 2520

10

8

④

XeF<sub>2</sub>, XeF<sub>4</sub>, XeF<sub>6</sub>(I) " 2603 1971

Brundell C.R., Jones G.R., Basch H,  
J. Chem. Phys., 1971, 55, N<sup>o</sup>3, 1098-1104

HeI and HeII photoelectron  
spectra and the electronic  
structures of XeF<sub>2</sub>, XeF<sub>4</sub> and  
XeF<sub>6</sub>. 10 8 (P)

Pt. Chem., 1972, 2521

XI 1844

1971

XeF<sub>2</sub>, XeF<sub>4</sub>, XeOF<sub>4</sub>. (M.H., VI, перевод. ф-зая)

Tsao P., Cobb C.C., Claassen H.H.,  
J. Chem. Phys., 1971, 54, n12, 5247-5253



10

XeF<sub>4</sub>

1972

18 Б25. Определение конформации молекул при комбинированном применении теории взаимодействия связывающих и неподеленных электронных пар и критерия максимального перекрывания. Конформация XeF<sub>4</sub>. Андреев Ст. Комбинирано разглеждане на конфигурации с теорията на взаимодействието на свързващи и изолирани електронни двойки и критерия за максимално припокриване. Конфигурацията на XeF<sub>4</sub>. «Годиши. Висш. хим.-технол. ин-т — София», 1968(1972), 15, № 5, 377—389 (болг.; рез. рус., англ.)

Для повышения достоверности предсказаний наиболее вероятной геометрич. конформации молекул типа MX<sub>n</sub> предложено совместно использовать два квантово-хим. метода — критерий максим. перекрывания и теорию Сиджвика—Пауэлла, согласно к-рой конформация молекулы определяется взаимодействием связывающих и неподеленных электронных пар. Применение каждого из этих методов в отдельности может приводить к неод-

гласие.

X. 1973 N 18

позиачным результатам. Рассмотрено 8 примеров комбинированного результата двух методов для структур с симметрией тетраэдра, тригона, бипирамиды, октаэдра, пентагона, бипирамиды, равностороннего треугольника и плоского квадрата. Применение предложенного комбинированного метода проиллюстрировано на примере  $\text{XeF}_4$ . В этом случае максимумы величин суммарного перекрывания валентных орбит лигантов и гибридных орбит центрального атома для структур с симметрией искаженного тетраэдра и плоского квадрата практически одинаковы, но энергия взаимодействия электронных пар минимальна в случае квадратной структуры. Поэтому для молекулы тетрафторида ксенона наиболее вероятна структура плоского квадрата. Ю. Удачин

1973



} 118479x Combined treatment of configurations using the theory of bonding and lone electron pairs and the maximum overlap method. Configuration of xenon tetrafluoride. Andreev, S. (Bulg.). *God. Vissk. Khimiko-tehnol. Inst., Sofja* 1968 (Pub. 1972), 15(5), 377-89 (Bulg). A general method for the theor. detn. of the configuration of EX<sub>n</sub> mols. (where X is a halogen atom) involves detn. of all possible configurations with stable electron pairs (using the theory of bonding and long electron pairs) and selection of the most favorable configuration by the max. overlap method. In the case of XeF<sub>4</sub>, the max. total orbital overlap calcd. for square and distorted tetrahedron configurations are similar, but the square configuration is more favorable because of the min. lone electron pair interactions.

T. Ordentlich

C.H. 1973, 79 v 20

1973

XeF<sub>4</sub>

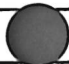
Chemistry a topological subject.  
Fothingham R. W.

Dj;

Chem. Soc. Rev. 1973, 2(4),  
3457-74 (Eng.)

paracem.

(all CH<sub>4</sub>; III)



C.A. 1974. 80. N26

CH<sub>4</sub>, P<sub>4</sub>, XeF<sub>4</sub> (vi) XI 4142 1973

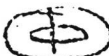
Gotham R.W.;

Chem. Soc. Rev., 1973, 2 (1), 257-71.

Chemistry a topological subject.

C.A.1974.80.N26.149203c

W



XeF<sub>4</sub>; XeF<sub>6</sub>; (reall. empfunden, pacuum) 1973

Lombardi E., XI 3560

Chim. e. ind. (Ital), 1973, 55, N<sup>o</sup> 5,  
415 - 416 (anul.)

Theory of stability of rare-gas  
halides.

Brk Xviii, 1974, 1538

10

⊕

XeF<sub>2</sub>; XeF<sub>4</sub> (~~gave kijk. y.p. Cuckoo-p.~~) <sup>1973</sup>  
comes F.Y., Haensel R., Nielsen U.; <sup>v1 3378</sup>  
Schwarz W.H. E.  
J. Chem. Phys., 1973, 58, N<sub>2</sub>, 516-29  
(cont.)

Spectra of the xenon fluorides,  
xenon difluoride and xenon  
tetrafluoride, in the far uv  
region.



IC (P) ~~communicated~~ CA, 1973, 78, N<sub>2</sub>, 77 6597

50108.6721  
(TC, Ch)

96625

1974

XeF<sub>4</sub>

0274-7990

Adams Chris J. The raman spectra  
of solid xenon tetrafluoride and its  
adduct with xenon difluoride. "J. Raman  
Spectrosc.", 1974, 2, N. 4, 391-397

(англ.)

0276 РИК

ВИНТИ

249 252 ? 18

$\text{XeF}^+$ ,  $\text{XeF}_2$ ,  $\underline{\text{XeF}_4}$ ,  $\text{XeF}_6$ , Х14327<sup>1979</sup>  
(кв. метод расчетом).

Заркин О.Н., Сисондер А.Е., Засбий  
А.С., Касимовско Н.М.,

Ж. Структурн. Журн., 1974, 15  
(3), 539-46

Расчеты электронных структур  
сочетающихся замкнутых и открытых  
зарядов методами SCF LCAO MO.

(MO-LCAO ССП)

C.A. 1974. 81 N18 111615w

10

(6)

$\text{XeF}_4^+$

XI 4772

1974

162626d Correlation of electronic states of the positive ions of xenon tetrafluoride, xenon oxide tetrafluoride, and iodine pentafluoride. Dekock, Roger L. (Dep. Chem., Am. Univ. Beirut, Beirut, Lebanon). *J. Electron Spectrosc. Relat. Phenom.* 1974, 4(2), 155-61 (Eng). A correlation of electronic states of  $\text{XeF}_4^+$ ,  $\text{XeOF}_4^+$ , and  $\text{IF}_5^+$  ions is presented. The results are interpreted in terms of the MO's of the neutral mols. via Koopman's Theorem. The results strongly suggest that the 1s band in the uv photoelectron spectrum of  $\text{XeOF}_4^+$  contains only 2 electronic states; the Xe-O  $\sigma$  bond in  $\text{XeOF}_4$  is at least 1.5 eV more stable than the corresponding Xe lone pair in  $\text{XeF}_4$ . The interpretation of O lone pair electron energies is complicated by ionic and covalent effects, both tending to stabilize these electrons.

D.J. Coom

C.A. 1975, 82 n24,



XI-4772

1974

$XeF_4^+$

З Д220. Корреляция электронных состояний положительных ионов тетрафторксенона, окси тетрафторксенона и пентафториода. Dekock Roger L. Correlation of electronic states of the positive ions of xenon tetrafluoride, xenon oxide tetrafluoride, and iodine pentafluoride. «J. Electron Spectrocs. and Relat. Phenom.», 1974, 4, № 2, 155—161 (англ.)

Рассмотрена корреляционная диаграмма и обсуждены фотоэлектронные спектры (ФЭС) для ионов  $XeF_4^+$ ,  $XeOF_4^+$ ,  $JF_5^+$ . Особое внимание уделено электронной структуре  $XeOF_4^+$ . Обращено внимание на имеющееся в литературе противоречие в заключениях об отсутствии двоесвязности в  $Xe-O$  (ФЭС) и наличия двое-

фотоэл.  
спектр

+2

ф. 1975 № 3

связности (ЯМР-, ИК-спектры). Утверждается, что отнесение перехода с ионизацией электрона с MO Xe—O-связи к первой полосе ФЭС  $\text{XeOF}_4^+$  неправильно, соответствующий уровень лежит на 1,5 эв ниже, чем энергия MO локализованной пары электронов Xe в  $\text{XeF}_4$ . Исследованы ионные и ковалентные составляющие, которые важны в интерпретации энергии MO  $2p\pi$  локализованной пары электронов кислорода. Утверждается, что наличие компенсации вкладов не позволяет сделать определенного заключения о наличии (или отсутствии) двоесвязности в связи XeO по ФЭС. Г. М. Жидомиров

X14135

41014.8471

Ch, TC, Ph

*XeFn*

40604

02

1974

*n=3; 4;*

\*4-6843

Lombardi E., Pirola L., Tarantini G.,  
 Jensen L., Ritter R. Validity of the  
 three-center, four-electron model for sta-  
 bility of rare gas halides on the basis  
 of exchange perturbation theory.

"Int.J.Quant.Chem.", 1974, 8, N 3, 335-345

(англ.; фрнц., нем.)

176 180 1203

0944

ВИНИТИ

XeF<sub>2</sub>, XeF<sub>4</sub>, XeOF<sub>4</sub>, XeO<sub>3</sub> 1974.

(снексп. д. Н.Р., empirical)  
XI-4583

Seppelt K., Rupp H.H.,  
Z. Anorg. Allg. Chem., 1974,  
409 (3), 331-7.

Xenon - 129 NMR spectra of  
xenon compounds...  
(

C.A. 1975, 82 n6. 37004 y 10 Ⓢ

XeF<sub>4</sub>  
XeF<sub>6</sub>

(Model.)

Burdett J.K.  
Struct. and Bond, 31,  
Berlin, c.a. 1976, 67-105.

(all. Betz, III)

1976

60511.3636

Ch, Ph, TC

96200

XeF<sub>4</sub> (спектр)

1976

F4-12851

Nielsen U. Schwarz W.H.E.

VUV spectra of the xenon fluorides.

"Chem. Phys.", 1976, 13, N 3, 195-202

(англ.)

0616 ник

589 591

608

ВИНИТИ

XeF<sub>4</sub>

(J)

Nielsen U.

1976

Schwarz W.H.S.

Chem Phys 1976, 13(3)

195-202 (eng)

(con XeF<sub>2</sub>;  $\frac{1}{m}$ )

$\text{FeF}_4$

Pauling Linus

1976

water.  
vacuum

"Proc Nat Acad Sci USA"

1976, 73, N5, 1403-1405 (allat)

(all  $\text{FeF}_4$ ;  $\frac{\text{III}}{\text{I}}$ )

Хе F<sub>4</sub>

Сидоров А. Е.

1976

научн  
литер  
структ.

(Редколлегия "М. физ. науки"  
АН СССР) с. 1976, 9/с,  
Библиогр. И зафр. (рукопись  
пер. В. Виними 20 окт.  
1976г. № 3686-76 Ден)



(см Хе F<sub>4</sub> III)

XeF<sub>4</sub>

XG-18922  
Falconer W. S. et al 1977

аксоны.  
в синих.  
чурках

"J. Chem. Phys.",  
1977, 66, n12, 5335-5338.



(ces. KrF<sub>2</sub>) III

Xe F<sub>4</sub> Lammick 6331 1977

Natarjan A, et al

Acta chim Acad. sci.  
hung 1977(1978), 95, N2-3,  
157-161 (1977)

act. Cl F<sub>4</sub>-II

$\text{HeF}_4$

Lamda 8476 / 1978

ab3ap, J.  
Panjab  
univ.

Asundi R.K. et al.

Indian J. Pure and Appl. Phys.,  
1978, 16, p. 142- 150.

XeF<sub>4</sub>

Lommel 8309 / 1978

Confusyna  
moewyni

Andersson S.

Aeta crystallogr.,  
1978, B35, 1321-24

$XeF_4$

Omniscient 6592

1978

Baneroff B.H.; et al.

D.L. Cerny

Inorg. Chem., 1978,  
17 (6), 1595-99

Gas-phase ESCA studies of  
Valence and  Core levels in,,  
(Cv.  $XeF_2$ ;  $\text{III}$ )

1978

$\text{Kef}_4$   
рентгено-  
спектр.  
спектр.

Bancroft G.M., et al.,  
"Inorg. Chem.", 1978, 17,  
N<sub>6</sub>, 1595-1599.

(cu.  $\text{Kef}_2$ ; III)

XeF<sub>4</sub>

PtCl<sub>4</sub><sup>2-</sup>

Силов.  
постн.

(+1)

4

Ф. 1978, № 12

отмела 6760

1978

12 Д226. Усовершенствованная программа для вычисления колебательных силовых постоянных. Davidson George, Duce David A. An improved program for calculating vibrational force constants. «J. Mol. Struct.», 1978, 48, № 1, 87—92 (англ.)

Описана программа определения силовых постоянных из экспериментальных колебательных частот, в основе которой лежит известная модификация метода Ньютона — Рафсона (Marquardt D. W., «J. Soc. Ind. Appl. Maths.», 1963, II, 431). Программа отличается от известных лучшей сходимостью в случае больших отличий исходных значений силовых постоянных от конечных, что продемонстрировано на примере расчетов силовых постоянных для молекулы XeF<sub>4</sub> и иона PtCl<sub>4</sub><sup>2-</sup> с различными исходными значениями их.

Р. Мухтаров

XeF<sub>4</sub>

ommuck 6780

1978

PtCl<sub>4</sub><sup>2-</sup>

89: 67710n An improved program for calculating vibrational force constants. Davidson, George; Duce, David A. (Dep. Chem., Univ. Nottingham, Nottingham, Engl.). *J. Mol. Struct.* 1978, 48(1), 87-92 (Eng). A new program is described for the calen. of vibrational force consts., based upon a minimization algorithm. This has certain advantages in comparison with existing programs for solving the vibrational force const. problem, as shown by series of calens. of approx. valence force fields for XeF<sub>4</sub> and PtCl<sub>4</sub><sup>2-</sup>.

C. R. Nocci

D. J.

(+1) ☒

C.A. 1978, 29, 118

XeF<sub>4</sub>

1978

Molecular  
config.

89: 80303b Electric deflection and molecular structure. Determination of polarities of binary fluorides and oxyfluorides. Falconer, W. E. (Bell Lab., Murray Hill, N. J.). *Isr. J. Chem.* 1978, 17(1-2), 31-6 (Eng). The topics reviewed with 63 refs. include: principles of the elec. deflection of a mol. beam by an inhomogeneous d.c. quadrupolar elec. field; and applications of elec.-deflection spectroscopy in obtaining information on mol. polar properties (e.g., dipole moments, polarizabilities) in relation to studies of the mol. structures of triat. disfluorides (e.g., alk. earth fluorides, transition metal fluorides, XeF<sub>2</sub>), tetraat. trifluorides (e.g., lanthanide fluorides), binary tetrafluorides (e.g., XeF<sub>4</sub>, SiF<sub>4</sub>, transition metal and lanthanide fluorides), binary pentafluorides (e.g., pnicogen fluorides, halogen fluorides, transition metal fluorides), and ternary oxide fluorides (e.g., IO<sub>2</sub>F<sub>3</sub>, XeOF<sub>4</sub>, ReO<sub>3</sub>F, OsO<sub>2</sub>F<sub>3</sub>).

(+5)



8

F.A. 1978, 29, N16

XeF<sub>4</sub>

1978

11 Б29. Конструирование наилучших гибридных орбиталей XeF<sub>3</sub> и XeF<sub>4</sub> методом максимального перекрытия. Petrákán P., Valko L. Konstrukcia najlepších hybridných orbitálov XeF<sub>2</sub> a XeF<sub>4</sub> metódou maximalného prekryvu. «Zb. pr. Chemickotechnol. fak. CVŠT, 1975—1976». Bratislava, 1978, 15—20 (словац.; рез. рус., нем.)

Построены наилучшие гибридные орбитали атома Xe в молекулах XeF<sub>2</sub> и XeF<sub>4</sub>. При расчете применялось условие максим. перекрывания. Результаты расчета находятся в хорошем согласии с эксперим. значениями и позволяют интерпретировать нек-рые физ. и хим. св-ва приведенных молекул.

Автореферат

окт. 1979, N 11

отмечена 103.19

1980

XeF<sub>4</sub>

кв. мех.  
расчет

47

4 Б41. Исследования методом ССП—МО в приближении псевдопотенциала гипервалентных соединений. I. XeF<sub>2</sub> и XeF<sub>4</sub>. Bartell Lawrence S., Rothman Michael J., Ewig Carl S., Van Wazer John R. Pseudopotential SCF—MO studies of hypervalent compounds. I. XeF<sub>2</sub> and XeF<sub>4</sub>. «J. Chem. Phys.», 1980, 73, № 1, 367—374 (англ.)

В рамках неэмпирич. метода псевдопотенциала рассчитаны электронное строение и силовое поле молекул XeF<sub>2</sub> и XeF<sub>4</sub>. Псевдопотенциал, построенный неэмпирически с использованием оператора Филлипса—Клейнмана, представлялся комбинацией 7 гауссовых ф-ций (ГФ) и отличался для s- и p-орбиталей. В расчетах использовались два базиса: в 1-м, миним. базисе, каждая из слайтеровских орбиталей оптимизированного атомного базиса аппроксимировалась 4ГФ; во 2-м базисе, также миним., параметры показателей экспон-чт находились

Х. 1981. NY

аппроксимацией атомных двухэкспонентных базисов. Рассчитанные орбитальные энергии  $\text{XeF}_2$  и  $\text{XeF}_4$  хорошо согласуются с данными прямых неэмпирич. расчетов этих молекул методом ССП МО ЛКАО. Рассчитанные равновесные длины связей 2,068 Å для  $\text{XeF}_2$  и 2,037 Å для  $\text{XeF}_4$  на 5% превышают соотв-щие эксперим. значения, однако сжатие длин связей на 0,03 Å при переходе от  $\text{XeF}_2$  к  $\text{XeF}_4$ , наблюдаемое экспериментально, в расчетах передано правильно. Рассчитанные силовые постоянные вал. и деф. кол. в обеих молекулах хорошо согласуются с экспериментом. Частоты вал. кол., вычисленные при эксперим. значениях равновесных длин связей, на ~25% превышают эксперим. значения. Роль несвязывающих взаимодействий фтор—фтор оценена путем вычисления разности энергий системы  $\text{F}_2\dots\text{F}_2$  с симметрией группировки  $D_{2d}$  и двух изолированных молекул  $\text{F}_2$ .

И. А. Тополь



$XeF_4$

Lommel 10834

1980.

Lutat R; et al.

pmr spectrum.

peaks.  
 $F + Xe$

J. Fluor. Chem., 1980,  
16 (6), p 638.

BP - XI - 6376

1980

Xef<sub>4</sub>  
ФеKmp.  
суперве

Scheire L.,  
Phariseau P., et al.,  
„Physica”, 1980, A101,  
N1, 22-48.

(ал. Xef<sub>2</sub>; III)

LeF<sub>y</sub>

1981

Селюк A. E. u. sp.

Д. "12<sup>4</sup> аллодицесеекеер сэз  
и; то одыг. И нынч. Харлесеер.  
Рег. горк. А Содолг. №3"  
дт., 1981, 126.

(Сел. LeF<sub>3</sub>; III)

$XeF_4$

1982

Maria Zorlescu Tg. Jic.

Rev. fiz. si chem., 1982,  
no. 1, p. 235-237.  
cuv.  $XeF_4$ ; II)

1983

XeF<sub>4</sub>

Bancroft G.M., Bristow D.J.  
et al.,

(X<sub>d</sub>-panel)

Inorg. Chem., 1983, 22(19),  
2673-7.

XeF<sub>y</sub>

1984

Hickinaga Sigerec,  
Klobukowski M. L. et al.

MEOP.  
parzen

einpykm.  
naparzenyp.

cf. Phys. Chem. 1984,  
88(2), 4880-6.

(Cer. F<sub>2</sub>; III)

$\text{Kef}_4$

OM 23027/

1986

Larsson S., Pylykkö P.,

meop.  
paavet

Chem. Phys., 1986, 101,  
N 3, 355-369.

$\text{XeF}_4$  1986

Pösch N., Pyykkö P.

U. n. Mol. Phys., 1986, 57,  
Nl, 193 - 200.

(crys.  $\text{XeF}_2$ ; III)

Кефы

(DM. 29649)

1988

Енисей ХО. Р.

пачки  
евроб.

номиналы.

№. զւյ. Խելչելի,

1988, 62, №, 1651-



- 1653.

$F_4 Xe^+$   
 $(XeF_4^+)$

Lom. 30490

1988

Jacob et. al.,

Ti, J. Phys. and Chem. Ref.  
Di; Data, 1988, 17, N<sup>o</sup> 2, 467.

XeF<sub>4</sub>

1988

Herdon William C.

J. Mol. Struct. Theo-  
w.n. chem. 1988. 169. C.



389-401.

(See XeF<sub>2</sub>; II)

XeF<sub>4</sub>

(dm. 31738) 1989

18 Б1114. Электронографическое исследование структуры тетрафторида ксенона в газовой фазе / Ивашкевич Л. С., Ищенко А. А., Киселев Ю. М., Романов Г. В., Соколов В. Б., Спиридовон В. П. // Докл. АН СССР.— 1989.— 305, № 6.— С. 1396—1400.— Рус.

Методом газовой электронографии с использованием более совершенной методики анализа и привлечением спектральных данных повторно исследована молекула XeF<sub>4</sub> (I). Установлено, что структура I м. б. удовлетворительно описана на основании квазижесткой модели симметрии  $D_{4h}$  при значении  $r_a(\text{Xe—F}) = 1,948(7)$  Å. С использованием параметра морзе-подобной потенциальной ф-ции  $a(\text{Xe—F}) = 1,26 \text{ Å}^{-1}$ , определенного на основании спектроскопич. данных для молекулы XeF<sub>2</sub> (J. Chem. Phys.— 1969.— 51.—

III-11.

X. 1989, N 18

С. 2355), из анализа, основанного на кумулянтном представлении интенсивности рассеяния (см. РЖХим, ссылка 14), получена величина  $r_e(\text{Xe}-\text{F}) = 1,943$  (7) Å. При этом все частоты колебаний, кроме  $\nu_4(b_{1u})$  и  $\nu_7(e_u)$ , зафиксировали на значениях, измеренных спектроскопически (J. Amer. Chem. Soc.— 1963.— 85.— С. 1927). Для частот  $\nu_4(b_{1u})$  и  $\nu_7(e_u)$  получены оценки ( $\text{cm}^{-1}$ ) 215(20) и 135(20), соотв., хорошо соглашающиеся с имеющимися лит. данными.

В. П. Спиридонов

XeF<sub>4</sub>

1989

(Jm 31738)

111: 202180c Electron-diffraction study of the structure of xenon tetrafluoride in gas phase. Ivashkevich, L. S.; Ishchenko, A. A.; Kiselev, Yu. M.; Romanov, G. V.; Sokolov, V. B.; Spiridonov, V. P. (Mosk. Gos. Univ., Moscow, USSR). *Dokl. Akad. Nauk SSSR* 1989, 305(6), 1396-400 [Phys. Chem.] (Russ). The radial distribution function is given, and is compared with theor. results; the parameters are detd. in relation to IR spectral data for XeF<sub>4</sub>. The harmonic force field and vibrational frequencies are calcd.

см.рукопись

c.A. 1989, 111, N 22

$XeF_4$  1990  
Liu Qi-Shi, Liu Chao-  
Meng.

Хуаюэ Сюэдао. Acta  
U. N. Chim. Sin. 1990. 48, N 9.  
C. 841 - 845.

(Ccl.  $XeF_2$ ; III)

XeF<sub>4</sub>

1991

Nabiev Sh. Sh., Klimov V.D.  
et al.,

M.N.  
J. Fluor. Chem. 1991,  
54, N1-3, C. 344.

(all XeF<sub>4</sub>;   $\text{III}$ )

XeF<sub>4</sub>

1993

8 Б3123. Молекулярная динамика XeF<sub>4</sub> и XeF<sub>6</sub> в безводном фтористом водороде /Набиев Ш. Ш./ //Высокочист. вещества .— 1993 .— № 5 .— С. 138—158 .— Рус. ;рэз. англ.

Изучены спектры КР систем XeF<sub>n</sub>—HF ( $n=2,4$ ) в широкой области колебат. частот и конц-ий. Показано, что в системе XeF<sub>6</sub>—H наряду с ионизованными мономерными и полимерными модификациями гексафторида ксенона, такими как  $([XeF_5]^+F^-)_n$  ( $n=1, 2, 4$ ), существует целый ряд ассоциатов типа  $(XeF_6)_m - ([F_5Xe]_n)^{\delta+} \dots n[FHF]^{\delta-}$ ) образующихся в результате донорно-акцепторного вз-вия льюисовских основания и к-ты. Проведено отнесение колебат. полос  $([XeF_5]^+F^-)_n$  ( $n=1, 2, 4$ ) и указанных ассоциатов. Вычислены временные корреляц. функции колебат. и вращат. релаксации для вал. кол.  $v_1(A_{1g})$  тетрафторида ксенона ( $552 \text{ см}^{-1}$ ) и трех ионизованных форм гексафторида ксенона ( $596—625 \text{ см}^{-1}$ ), а также соотв-щие характеристич. времена этих процессов. Сделан вывод, что при формировании контура полос  $([XeF_5]^+F^-)_2$  и  $([XeF_5]^+F^-)_4$  вклад в основном вносит процесс колебат. дефазировки, в то время как в случае XeF<sub>4</sub> и  $([XeF_5]^+F^-)$  вклады процессов колебат. и вращат. релаксации практически совпадают.

М.Л.

№ 4 XeF<sub>6</sub>  
Х. 1994, N 8

$XeF_4$  1994

Nabiev Sh. Sh.,

Ostrovskova I. I. et al.

(Vi) Proc. SPIE - Int. Soc. Opt.  
Eng. 1994, 2205, f 261-3.

(see  $XeF_2$ ; ii)

XeF<sub>4</sub>

1995

123: 66125j Electron correlation and relativistic effects in xenon tetrafluoride. Styszynski, Jacek; Malli, Gulzari L. (Dep. Chem., Simon Fraser Univ., Burnaby, BC Can. V5A 1S6). *Int. J. Quantum Chem.* 1995, 55(3), 227-35 (Eng). Ab initio all-electron fully relativistic Dirac-Fock SCF and Dirac-Fock-Breit calcns. are reported for the XeF<sub>4</sub> mol. at various internuclear distances assuming the exptl. D<sub>4h</sub> geometry with our recently developed relativistic universal Gaussian basis set. The nonrelativistic limit Hartree-Fock calcns. were also performed for XeF<sub>4</sub> at various internuclear distances. The calcd. relativistic correction to the total energy of mol. at the Dirac-Fock level is ~ -5856 eV, whereas the magnetic part of the Breit correction to the electron-electron interaction is calcd. as ~ 177 eV. The electron correlation effects were included in the nonrelativistic Hartree-Fock calcns. using the second-order Moeller-Plesset (MP2) theory, and the calcd. correlation energy for XeF<sub>4</sub> is -71 eV. The basis-set superposition error (BSSE) was estd. by using the counterpoise method for Xe and F. The inclusion of both the relativistic and electron correlation effects in the calcd. total energies of F, Xe, and XeF<sub>4</sub> as 1.952 Å and 5.59 eV, resp., which are in excellent agreement with the exptl. values of 1.953 Å and 5.69 eV,

ab initio  
pacem, do  
cmykewpa, Di

C.A. 1995, 123, N6

resp., for  $\text{XeF}_4$ . The contribution of the electron correlation and relativistic effects to the dissociation energy of  $\text{XeF}_4$  is 8.11 and 0.05 eV, resp. The Breit interaction, however, contributes only 0.02 eV to the dissociation energy of  $\text{XeF}_4$ . Electron correlation is most significant for the prediction of an accurate value of dissociation energy, whereas relativistic effects are very important for the prediction of spin-orbital splitting as well as the energies of the orbitals, esp. the inner orbitals of  $\text{XeF}_4$ .

XeF<sub>4</sub>

On 38394

1996

, 124: 273206x Ab initio calculations and high resolution infrared investigation on XeF<sub>4</sub>. Buerger, H.; Ma, S.; Breidung, J.; Thiel, W. (Fachbereich Chem., Univ. Wuppertal, D-42097 Wuppertal, Germany). *J. Chem. Phys.* 1996, 104(13), 4945-53 (Eng). Ab initio calcns. employing effective core potentials and polarized triple-zeta basis sets were carried out for XeF<sub>4</sub> at the following levels: SCF theory, Moeller-Plesset 2nd-order perturbation theory (MP2), and coupled cluster theory with single and double excitations and a perturbational treatment of triple excitations (CCSD(T)). Pronounced correlation effects are found, esp. for the Xe-F bond length and the vibrational frequencies. The theor. predictions for the harmonic and anharmonic force fields and the assocd. spectroscopic consts. have guided the anal. of the exptl. data. FTIR spectra of monoisotopic <sup>136</sup>XeF<sub>4</sub> were recorded between 100-1170 cm<sup>-1</sup> with an effective resoln. of 0.002-0.004 cm, and a rotational anal. was performed for the v<sub>2</sub> band. The high resoln. results provide accurate mol. parameters for the ground state and the v<sub>2</sub> = 1 excited state of XeF<sub>4</sub> and allow a precise detn. of the ground state Xe-F bond length, r<sub>0</sub> = 193.487(3) pm. The agreement between the exptl. and the correlated theor. results is generally quite good.

ab initio  
pacem )  
Physic UK  
CRLKMP, M.N.

C.A. 1996, 124, 1120

1996

F: XeF<sub>4</sub>

P: 3

16Б1174. Исследование XeF[4] неэмпирическими методами расчета и с использованием ИК-спектроскопии высокого разрешения. Ab initio calculations and high resolution infrared investigation on XeF[4] / Burger H., Ma S., Breidung J., Thiel W. [Journal of Chemical Physics] // J. Chem. Phys. - 1996. - 104, N 13. - C. 4945-4953. - Англ.

РНСХ 1997

Неэмпирическими методами ССП, МП2, связанных кластеров с учетом одно-, двух- и частично трехкратных возбуждений и использованием эффективных остоящих потенциалов, и поляризованных трехэкспонентных базисов исследована молекула XeF[4]. Найдено значительное влияние корреляционной энергии на длину связи Xe-F и колебательные частоты. Рассчитаны гармоническое и ангармоническое силовые поля и спектроскопические параметры. Рассчитанные величины находятся в хорошем согласии с эксперим. данными, полученными для моноизотопического  $\{136\}$ XeF[4] с использованием ИК-спектроскопии с фурье-преобразованием в области 100-1170 см $^{-1}$ . Библ. 63.

1999

F: XeF<sub>4</sub>

P: 3

131:329283 Comparative analysis of the mass-spectra and thermochemical characteristics of XeF<sub>2</sub>, XeF<sub>4</sub>, and XeOF<sub>4</sub>. Zelenov, V. V.; Aparina, E. V.; Kashtanov, S. A.; Dodonov, A. F.; Aleinikov, N. N. Pil. Inst. Energet. Pr Khim. Fiz., Ross. Akad. Nauk Chernogolovka, Russia Khim. Fiz., 18(4), 83- (Russian) 1999 Using low-voltage electron ionization the wide energy distribution of 0. eV the authors obtained the mass spectra of the individual

substances XeF, XeF<sub>4</sub>, and XeOF<sub>4</sub> in the energy range 10-30 eV. Inverse spectra regularization allows the elimination of electron energy spreading, detd. by the substances ionization energies (IEs) and fragment ion appearance energies (AEs). On basis of the exptl. IE and AE values the authors calcd. the XeF ionization energy, the bond breaking energies for F-XeF<sub>3</sub>, O-XeF<sub>4</sub>, F-Xe<sup>+</sup>, F-XeF<sup>+</sup>, F-X, F-XeF<sub>3</sub><sup>+</sup>, and O-XeF<sub>4</sub><sup>+</sup>. On the basis of the temp. dependence of the satn. pressure the authors detd. the enthalpies of sublimation and evapn. for X